

مقاله پژوهشی

ارائه الگوریتم فرآبتكاری برای حل مسائل بهینه‌سازی عددی با الهام از مفهوم تاوه در فیزیک شاره

نیما مشهدی محمدرضا و حسام عمرانپور*

دانشکده مهندسی برق و کامپیوتر، دانشگاه صنعتی نوشیروانی بابل، بابل

(دریافت مقاله: ۱۴۰۰/۶/۳۰ – دریافت نسخه نهایی: ۱۴۰۰/۲/۴)

چکیده – یکی از مسائل مهم در مهندسی، یافتن نقاط بهینه سراسری توابع مورد استفاده است. یافتن چنین نقطه‌ای در برخی از توابع به علت‌های نظریه تعداد ابعاد بالا یا عدم توانایی مشتق‌گیری از تابع، بدراحتی امکان پذیر نیست. همچنین در مدل‌سازی مهندسی روابط بسیاری از توابع در اختیار نیست اما به صورت جعبه سیاه می‌توان به آنها ورودی داد و از آنها خروجی گرفت. از این‌رو با دلایل مطرح شده، الگوریتم‌های فرآبتكاری ارائه می‌شوند. در این مقاله الگوریتمی فرآبتكاری برگرفته از رفتار تاوه‌ها در فیزیک شاره ارائه شده است. الگوریتم از دیدگاه فنی از تاوه‌هایی ساخته می‌شود. هر تاوه با شامل چند ذره است. ذرات با استفاده از ماتریس دوران ارائه شده حرکت می‌کنند. این حرکت موجب جستجوی محلی می‌شود. همچنین هر تاوه با انتخاب یکی از تاوه‌های دیگر با الگوریتم انتخاب، سعی در فرار از بهینه محلی و رسیدن به بهینه سراسری دارد. الگوریتم با عملگرهای خود به اکتشاف و استخراج در تابع مورد نظر می‌پردازد. نوآوری دیگر این مقاله، ارائه دو معیار ارزیابی جدید برای الگوریتم‌های بهینه‌سازی است. این دو معیار رفتار و همگرایی الگوریتم‌ها را در طی مسیر رسیدن به نقطه بهینه سراسری و یا افتادن در بهینه محلی، نشان می‌دهند. الگوریتم پیشنهادی پیاده‌سازی شده و با الگوریتم‌های بهینه‌سازی عددی مرز داشت مورد ارزیابی و مقایسه قرار گرفته است. مشاهده شد که روش پیشنهادی می‌تواند روی اکثر توابع معیار، از بیست و چهار تابع معیار در ابعاد مختلف، به نتایج بهتری نسبت به سایر روش‌ها دست یابد. (تمام کدها در صفحه <http://web.nit.ac.ir/h.omranpour/> در دسترس است).

واژه‌های کلیدی: بهینه‌سازی عددی، الگوریتم‌های فرآبتكاری، فضای جستجو، معیار ارزیابی، الگوریتم بهینه‌سازی تاوه.

A Meta-heuristic Algorithm for Global Numerical Optimization Problems inspired by Vortex in fluid physics

N. Mashhadi Mohammad Reza and H. Omranpour*

Department of Electrical and Computer Engineering, Babol Noshirvani University of Technology, Babol, Iran.

Abstract: One of the most important issues in engineering is to find the optimal global points of the functions used. It is not

*: مسئول مکاتبات، پست الکترونیکی: h.omranpour@nit.ac.ir

easy to find such a point in some functions due to the reasons such as large number of dimensions or inability to derive them from the function. Also in engineering modeling, we do not have the relationships of many functions, but we can input and output them as a black box. Therefore, the meta-heuristic algorithms are presented.

In this paper, a meta-heuristic algorithm based on the behavior of vortices in fluid physics is presented. Technically, the algorithm is made up of vortices. Each vortex contains some particles. The particles move by the presented rotation matrix. This movement causes the local search. Also by selecting another vortex through the selection algorithm, each vortex attempts to escape the local optima and reach the global optima. The algorithm will explore and exploit the given function using its operators. Another innovation of this paper is the introduction of two new evaluation criteria for optimization algorithms. These two criteria show the behavior and convergence of algorithms along the way to reach the global optimal point or fall into the local optima. The proposed algorithm has been implemented, evaluated and compared with the numerical optimization state of the art algorithms. It was observed that the proposed method was able to achieve better results than most of the other methods in the major of twenty-four standard functions in different dimensions. (All codes available at <http://web.nit.ac.ir/h.omranchour/>).

Keywords: Numerical Optimization, Meta-Heuristic Algorithms, Search Space, Evaluation Criteria, Vortex Optimization Algorithm (VOA).

فهرست علامت

موقعیت ذره z ام از تاوه i	$P_{j_{V_i}}$	شعاع تاوه که کران آن درصدی از بازه‌ی آن بعد است	R_i
ضریب	a_1	سرعت تاوه	$V_{i, it}$
ابرمکعب پراکندگی جستجو	VHC	ماتریس دوران	M_R
		ضریب a_1 یک ضریب که عددی رندوم در بازه $[1, 0]$ است	Ω

۱- مقدمه

بهینه‌سازی جستجوی ممنوعه^۴ و الگوریتم شبیه‌سازی تبرید^۵، نیز وجود دارند که مبتنی بر جمعیت نیستند [۵]. بعضی از این روش‌ها بر اساس طبیعت و بعضی مانند الگوریتم بهینه‌سازی سینوس کسینوس، بر اساس رفتار انسان‌ها و همچنین روابط ریاضی ارائه شده‌اند [۶]. در حالت کلی تمامی این الگوریتم‌ها، به نام الگوریتم‌های فرالبتکاری^۶ نام‌گذاری می‌شوند. این الگوریتم‌ها با جستجو در فضای مورد بررسی به دنبال یافتن نقطه بهینه سراسری و یا حداقل یافتن نقطه‌ای در نزدیکی نقطه بهینه سراسری هستند [۷]. طبق نظریه «نه به غذای مجانی»^۷، هیچ الگوریتم فرالبتکاری بهینه‌سازی وجود ندارد که برای تمامی توابع بتواند نقطه بهینه را به درستی تشخیص دهد. از این رو تمامی محققین این حوزه به دنبال ارائه الگوریتم‌هایی هستند که دقت بیشتری در اکثر توابع و یا در توابعی خاص داشته باشند [۸].

در خصوص ضرورت این روش‌ها و کاربرد آنها می‌توان به این موارد اشاره کرد: عدم مشتق‌پذیری توابع، تعداد ابعاد بالای

طبی چند دهه اخیر، روش‌های متنوعی برای حل مسائل بهینه‌سازی ارائه شده است. دو نمونه از معروف‌ترین الگوریتم‌ها که تاکنون بسیار مورد استفاده قرار گرفته‌اند، الگوریتم ژنتیک^۱ در مسائل گسسته و الگوریتم بهینه‌سازی ازدحام ذرات^۲ در مسائل پیوسته هستند. الگوریتم ژنتیک برگرفته از نظریه فرگشت داروین است و در تاکنون در مسائل بسیاری از مورد استفاده قرار گرفته است و نقطه ضعف آن تنظیم پارامترهای آن است. تاکنون محققین بسیاری سعی در بهبود این الگوریتم داشته‌اند، اما همچنان نسخه اولیه این الگوریتم بیشتر مورد استفاده قرار می‌گیرد [۱ و ۲]. الگوریتم ازدحام ذرات از اولین الگوریتم‌های بهینه‌سازی در توابع پیوسته به شمار می‌رود که دقت خوبی در بسیاری از توابع دارد [۳]. اما یکی از اصلی ترین مشکلات این الگوریتم، گیرافتادن در بهینه‌های محلی است [۴]. این الگوریتم‌ها در دسته الگوریتم‌های هوش تجمعی^۳ قرار می‌گیرند. بعضی دیگر از روش‌های بهینه‌سازی مانند روش

به دنبال یافتن مسیرهای بهینه می‌گردد. این رفتار مورچه‌ها بر اساس استفاده از فرمون‌های بجا مانده از حرکت مورچه‌ها و رفتار گاها تصادفی آنها به دست می‌آید. مورچه‌های مصنوعی فرآیندهای راه حل هستند که پاسخ‌های کاندید را برای مساله مورد نظر با استفاده از اطلاعات فرمون که براساس تجربه جستجوی مورچه‌ها و احتمالاً اطلاعات اکتشافی موجود تطبیق داده می‌شود، می‌سازند [۱۴].

الگوریتم شکار جمعی (HS)، یک الگوریتم بهینه‌سازی جدید الهام گرفته از شکار گروهی از حیوانات از قبیل شیرها، گرگ‌ها و دلفین‌ها است. اگرچه این شکارچیان در شیوه شکار تفاوت دارند اما همه آن‌ها به دنبال شکار یک گروه هستند. شکارچیان طعمه را محاصره کرده و به تدریج حلقه محاصره را می‌بندند تا اینکه طعمه را گیر بیندازند. علاوه بر این، هر عضو گروه موضع خود را براساس موقعیت خود و موقعیت سایر اعضاء اصلاح می‌کند. اگر طعمه از حلقه فرار کند، شکارچیان گروه را دوباره سازماندهی می‌کنند تا دوباره طعمه را محاصره کنند [۲۳].

در الگوریتم میگو (KH) یک الگوریتم جدید الهام گرفته از الگوهای زیستی برای حل مسائل بهینه‌سازی پیشنهاد شده است. این الگوریتم براساس شبیه‌سازی رفتار توده‌وار افراد است. حداقل فاصله هر فرد از غذا و از بیشترین تراکم گله به عنوان تابع هدف برای حرکت در نظر گرفته می‌شود. موقعیت مکانی وابسته به زمان توسط سه عامل اصلی فرموله شده است: (الف) حرکت ناشی از حضور دیگران (ب) فعالیت جستجو و (ج) انتشار تصادفی. برای مدل‌سازی دقیق‌تر رفتار غیرخطی، دو عملگر ژنتیکی تطبیقی به الگوریتم اضافه می‌شوند [۲۵].

از دیدگاه کاربری در روش جستجوی موریانه (TA) یک الگوریتم الهام گرفته از زیست‌شناسی موریانه ارائه شده است. موریانه به طور مستقیم به مساله مسیریابی در حوزه‌ی توپولوژی شبکه پویا می‌پردازد. در الگوریتم موریانه، اطلاعات وضعیت شبکه در شبکه از طریق عبور بسته‌ها تعییه شده است. تصمیمات مسیریابی احتمالی مبتنی بر این اطلاعات هستند.

تابع و تعداد بسیار زیاد بهینه محلی، نداشتند رابطه مستقیم تابع و داشتن یک مدل جعبه سیاه^۸ از آن. از جمله کاربردهای مهم این روش‌ها، حل مسائل بهینه‌سازی در مدل‌های مهندسی [۹]، یافتن پارامترهای روش‌های یادگیری ماشین جهت حل مسائل مهم دسته‌بندی، خوشبندی و رگرسیون هستند [۱۰]. از این‌رو با دلایل مطرح شده، الگوریتم‌های فرآبتكاری ارائه می‌شوند.

نقاط مشترک این الگوریتم‌ها در سه مرحله پخش تصادفی عامل‌های جستجو، جابه‌جایی ذرات و تبادل اطلاعات و همچنین بررسی میزان بهینگی عامل‌ها براساس تابع ارزیابی است. تمامی الگوریتم‌های فرآبتكاری این مراحل را در گام‌های خود دارند. این الگوریتم‌ها غالباً الهام گرفته از طبیعت و یا فیزیک هستند و می‌توان متدهای الهام‌گیری آنها را به چهار دسته‌ی کلی (۱) براساس تکامل، (۲) براساس رفتار حیوانات، (۳) براساس فیزیک و ریاضیات (۴) براساس رفتارهای انسانی، دسته‌بندی کرد. از جمله الگوریتم‌های فرآبتكاری بهینه‌سازی براساس تکامل می‌توان به الگوریتم‌های ذیل اشاره کرد: الگوریتم ژنتیک [۱۱]، استراتژی تکاملی [۱۲]، برنامه‌نویسی ژنتیک [۱۳]. چون این الگوریتم‌ها الگوریتم‌های پایه و متدائل هستند، به ذکر نام و مرجع آنها بسنده می‌کنیم. انواع گوناگونی از الگوریتم‌های مبتنی بر رفتار حیوانات وجود دارند که عبارتند از: کلونی مورچگان ACO [۱۴]، کلونی زنبور عسل BCPA و WSA و ABC [۱۵-۱۷]، جستجوی فاخته CS [۱۸]، جستجوی دلفین DPO و DE [۱۹ و ۲۰]، الگوریتم خفash BA [۲۱]، الگوریتم کرم شبتاب FA [۲۲]، الگوریتم شکار جمعی HS [۲۳]، الگوریتم تزویج پرندگان BMO [۲۴]، الگوریتم میگو FOA [۲۵]، الگوریتم کرم میوه MS [۲۶]، جستجو بر اساس رفتار موریانه TA [۲۷]، بهینه‌سازی گرگ‌های خاکستری GWO [۲۹]، بهینه‌سازی میمون‌ها SSA [۳۰]، بهینه‌سازی نهنگ WOA [۳۱] و بهینه‌سازی شیر مورچه ALO [۳۲].

بهینه‌سازی کلونی مورچه‌ها (ACO)، یک الگوریتم فرآبتكاری است که با الهام از رفتار حرکتی جمعی مورچه‌ها

با توجه به مکان یک نهنگ تصادفی تولید می‌شود. این تابع باعث جستجوی فضای مساله و تولید پاسخ‌های متنوع خواهد شد [۳۱]. الگوریتم بهینه‌سازی شیر مورچه (ALO) با الهام از حرکات نوعی از مورچه‌ها برای رسیدن به شکار ارائه شده است. این الگوریتم با استفاده از روش انتخاب چرخ رولت مورچه‌های نسل بعد را انتخاب می‌کند. در واقع می‌توان اینگونه بیان کرد که این روش ترکیبی از روش‌های بهینه‌سازی گروه ذرات و الگوریتم ژنتیک است [۳۲].

الگوریتم‌های فرالبتکاری، برگرفته از طبیعت براساس فیزیک، الگوریتم‌هایی هستند که از قوانین موجود فیزیک و ریاضی در جهان، نشات می‌گیرند. از جمله الگوریتم‌هایی که از این متد الهام گرفته‌اند می‌توان به الگوریتم انفجار بزرگ (SWO) [۳۳]، الگوریتم بهینه‌سازی جهان کوچک (BBO) [۳۴]، الگوریتم بهینه‌سازی سیاه چاله (BHO) [۳۵]، بهینه‌سازی چند جهانی (MVO) [۳۶] و بهینه‌سازی شعاع نور (RO) [۳۷] اشاره کرد.

الگوریتم MVO یک الگوریتم الهام‌گرفته از طبیعت به نام بهینه‌ساز چند جهانی است. ایده‌های اصلی این الگوریتم بر پایه سه مفهوم در کیهان‌شناسی است که عبارتند از سفیدچاله، سیاه‌چاله و کرم‌چاله هستند. مدل‌های ریاضی این سه مفهوم به ترتیب برای انجام جستجو، بهره‌برداری و جستجوی محلی توسعه یافته‌اند [۳۶].

در الگوریتم RO، یک روش فرالبتکاری جدید به نام بهینه‌سازی شعاع ارائه شده است. همانند دیگر روش‌های چند عاملی، بهینه‌سازی شعاع دارای تعداد ذرات تشکیل شده از متغیرهای مساله است. این عوامل به عنوان شعاع نور در نظر گرفته می‌شوند. براساس قانون شکست نور، هنگامی که نور از یک محیط با چگالی کمتر به محیط با چگالی بیشتر حرکت می‌کند، تغییر جهت می‌دهد. این رفتار به عواملی در کاوش فضای جستجو در مراحل اولیه فرآیند بهینه‌سازی و تبدیل آنها به مراحل نهایی کمک می‌کند. این قانون ابزار اصلی الگوریتم بهینه‌سازی شعاع است [۳۷].

به طوری که استفاده از مسیرهای با حداقل مطلوبیت یک ویژگی نوظهور است. این رویکرد انطباقی برای مسیریابی، میزان ترافیک کنترلی موردنیاز برای حفظ عملکرد شبکه را کاهش می‌دهد. ماهیت تصادفی رفتار موریانه برای یافتن روشی برای به حداقل رساندن عملکرد مسیریابی، کشف شده است. این تحلیل بر برآورده‌گر متريک مسیریابی متمرکز است که به عنوان فرومون در زمینه بیولوژیکی شناخته می‌شود. نرخ خرابی فرومون طوری تنظیم می‌شود که بهترین برآورد ممکن از سودمندی یک لینک را برای تحويل یک بسته به مقصد، با در نظر گرفتن نوسانات یا زمان همبستگی، از شبکه ایجاد کند [۲۸].

یکی از پر استفاده‌ترین الگوریتم‌های بهینه‌سازی روش بهینه‌سازی گرگ‌های خاکستری (GWO) است. در این روش گرگ‌ها به سه گروه تقسیم می‌شوند. گروه‌ها به صورت سلسله مراتبی یکدیگر را رهبری می‌کنند. این نوآوری موجب شده است که روش بتواند از بهینه‌های محلی در بسیاری از مسائل خارج شود و پاسخ مناسبی ارائه نماید [۲۹]. الگوریتم بهینه‌سازی موجودات دریایی اسلپ (SSA)، با استفاده از یک عامل راهبر، با بهترین مقدار ارزیابی و چند پیرو، ارائه شده است. این الگوریتم از دیدگاه کلی مشابه با روش بهینه‌سازی گروه ذرات (PSO) است اما در روابط ارائه شده برای حرکت عامل‌ها، تفاوت مشاهده می‌شود [۳۰]. یکی دیگر از این نوع الگوریتم‌ها، الگوریتم بهینه‌سازی نهنگ است (WOA). این الگوریتم با تولید تصادفی تعدادی نهنگ آغاز می‌شود. هر نهنگ نشان‌دهنده یک پاسخ بهینه نزدیک کنند. نزدیک شدن نهنگ‌ها به طعمه با مکانیزم شبکه حباب انجام می‌شود. تابع دیگری وجود دارد که با الهام از چرخش نهنگ‌ها به دور طعمه طراحی شده است. از آنجایی که این دو تابع مکان جدید یک نهنگ را، با توجه به مکان بهترین نهنگ موجود، تغییر می‌دهند، آنها را می‌توان توابع استخراج الگوریتم در نظر گرفت. الگوریتم نهنگ برای تقویت فاز اکتشاف از تابع دیگری استفاده می‌کند که در آن مکان نهنگ

به دنبال انتشار الگوریتم‌های فرابتکاری با دقیقی بالاتر و قابل استفاده برای مجموعه مسائل بیشتر هستند. زیرا همان‌گونه که بیان شد با اثبات منطقی نظریه «نه به غذای مجانی» چنین نتیجه می‌شود که هیچ الگوریتم فرابتکاری نیست که پاسخگوی تمامی مسائل بهینه‌سازی باشد [۸]. از این‌رو در این مقاله روشی با هدف افزایش دقت بهینه‌سازی ارائه می‌شود. الگوریتم پیشنهادی در این مقاله بر اساس مفهوم تاوه^۹ در فیزیک شاره^{۱۰} است. در یک تاوه، عملیاتی نظیر دوران و همچنین حرکت در راستای شب سطح وجود دارد که با الهام از آنها روابط و الگوریتمی ارائه شده است. این روابط با این مفاهیم به اکتشاف و استخراج روی تابع برای ابعاد مختلف می‌پردازد که این عملیات برای فرار از بهینه محلی و همگرایی به بهینه سراسری ارائه می‌شود.

در بخش بعدی به ارائه مفهوم تاوه و دانش مورد نیاز برای فهم رفتار تاوه پرداخته می‌شود. در بخش سوم روش بهینه‌سازی پیشنهادی به همراه روابط و الگوریتم بهینه‌سازی عددی تاوه شده با سایر الگوریتم‌های بهینه‌سازی مطرح در تحقیقات مرتبط در شرایط یکسان روی بیست و چهار تابع معیار می‌پردازیم. در انتهای به نتیجه‌گیری و پیشنهاد برای آینده پرداخته می‌شود.

۲- مفهوم تاوه در فیزیک شاره

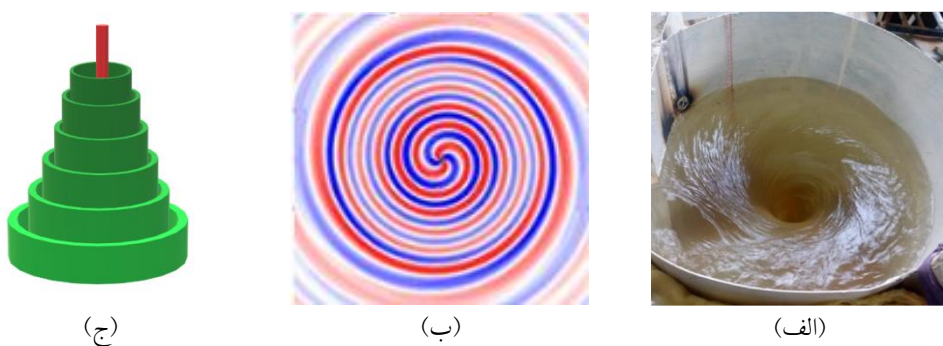
به ناحیه‌ای در شاره که ذرات حرکتی چرخشی حول مرکز انجام می‌دهند، تاوه می‌گویند. این چرخش روی محوری فرضی انجام می‌شود که آن را جریان تاوه می‌نامند. همچنین از مهم‌ترین مفاهیم در تاوه‌ها، برداری است که حرکت دورانی محلی را در یک تاوه توصیف می‌کند. این بردار، تاوگی نام دارد. یک تاوی چرخشی، از طریق یک نیروی خارجی، می‌تواند در حالت خود باقی بماند. این نیروی خارجی توسط حرکت خود سیال، ایجاد نمی‌شود. تاوه با وجود نیروی خارجی، تاوگی غیر صفری نسبت به هسته دارد. این بدان معنی است که تاوه ایجاد شده، متلاشی نمی‌شود و حرکت رو به

الگوریتم‌های فرابتکاری براساس رفتار انسانی، از مدل‌سازی و بررسی رفتار و اعمال انسان در شرایط و موقعیت‌های گوناگون نشأت می‌گیرد. از جمله الگوریتم‌های فرابتکاری بر اساس رفتار انسانی می‌توان الگوریتم رقابت استعماری (ICA) [۳۸] و الگوریتم بهینه‌سازی جامعه و تمدن (SCO) [۳۹]، را نام برد.

توانایی تعامل دو طرفه رفتار اجتماعی بینادی در تمام جوامع بشری است. تعاملات اجتماعی افراد را قادر می‌سازند که سریع‌تر از تکامل زیستی، براساس وراثت ژنتیکی، خود را وفق داده و بهبود بخشنده. این مفهوم محرک اساس الگوریتم بهینه‌سازی معرفی شده در روش SCO است که از تعاملات درون یک جامعه رسمی و تمدن مدل شده برای حل مسائل بهینه‌سازی استفاده می‌کند. یک جامعه به مجموعه‌ای از نقاط در فضای پارامتری مربوط می‌شود درحالی که یک تمدن مجموعه‌ای از تمامی جوامع است. هر جامعه‌ای دارای مجموعه‌ای از افراد دارای عملکرد بهتر (رهبران) است که به دیگران کمک می‌کنند تا از طریق تبادل اطلاعات بهبود یابند. این امر منجر به مهاجرت یک نقطه به سمت عملکرد بهتر، مشابه با عملکرد جستجوی محلی تشدید شده، می‌شود. رهبران تنها از طریق تبادل اطلاعات درون‌جامعه‌ای که منجر به مهاجرت یک رهبر از یک جامعه به جامعه دیگر می‌شود، بهبود می‌یابند. این کار به جوامع بهتر برای توسعه و شکوفایی و در واقع همگرا شدن به بهینه سراسری تابع مورد نظر، کمک می‌کند [۳۹].

روشی با الهام از تاوه با استفاده از چند ذره در هر شعاع ارائه شده است [۴۰]. این شعاع‌ها در شاره حرکت می‌کنند و ذرات نیز می‌توانند در همان شعاع به حرکت خود ادامه دهند. بدین ترتیب جستجو در این روش صورت می‌گیرد. از نوآوری‌های روش پیشنهادی، چرخش‌ها و روابط جدید شعاع‌ها به صورت غیرخطی است که موجب رسیدن به دقت بالاتری شده است. از سوی دیگر در این مقاله دو معیار جدید ارزیابی نیز ارائه شده است.

با این همه، مهندسین و دانشمندان علوم کامپیوتر هرساله



شکل ۱- نمایی از لوله‌های تاوه در سیالات، (الف) تشکیل تاوه در سیال [۴۳]، (ب) شبیه سازی حرکت لوله‌های تاوه در سیال [۴۴] و (ج) شبیه سازی لوله‌های تاوه در سیال

جريان، به صورت مارپیچ تبدیل شده‌اند. در نتیجه می‌توان گفت که هنگام حضور یک ذره از سیال در انتهایی ترین لوله تاوه، این ذره با سرعت دورانی غیریکنواخت، نسبت به مرکز دوران کرده و به لوله‌های تاوه درونی‌تر، منتقل می‌شود تا زمانی که به لوله تاوه با قطر صفر برسد [۴۱].

پایین ذرات سیال ادامه می‌یابد [۴۱].

برای ادامه به دو تعریف خط جریان سیال و خط تاوه نیاز است. خط جریان سیال، خطی است که در همه جا با بردار سرعت ذرات مماس است. خط تاوه نیز خطی است در همه جا مماس بر بردار تاوگی است. حال با این تعاریف می‌توان گفت که یک بردار ساکن، که مجموع نیروهای داخلی ذرات صفر است، خط جریان سیال یک حلقه بسته حول محور و خط تاوه به تقریب موازی محور است [۴۲]. در نتیجه استوانه‌ای را می‌توان فرض کرد که در همه جا بر سرعت جریان و تاوگی مماس است. این سطح را لوله‌ی تاوه می‌نامند و در اطراف محور چرخش قرار دارد. با این اوصاف، می‌توان محور تاوه را نیز یک لوله تاوه با قطر صفر فرض کرد. از آنجایی که تاوه پیوسته است، لذا تعداد لوله‌های میانی بین بیرونی ترین لوله تاوه و مرکز، بسیار زیاد است (شکل ۱).

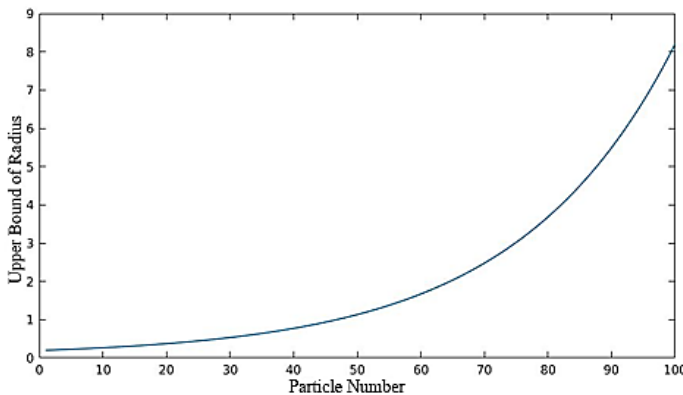
هر تاوه پس از ایجاد، به سرعت گسترش می‌یابد و خم می‌شود و تمامی خطوط پایانی را حذف می‌کند. این خمیدگی سبب می‌شود که سیال شکلی مانند قیف جبرئیل به خود بگیرد. هنگامی که ذرات سیال در مسیرهایی دور حرکت می‌کنند، رگه‌های مارپیچ دیده می‌شوند. که این رگه‌ها به علت جابجا شدن ذرات از لوله با قطر بیشتر به لوله داخلی است. این رگه‌های مارپیچ در حقیقت ابرهایی از سیال هستند که در آغاز چندین لوله تاوه را تشکیل می‌دهند و به علت تفاوت در سرعت

۳- الگوریتم بهینه‌سازی عددی پیشنهادی

در این الگوریتم، ابتدا تعدادی تاوه با شعاع‌هایی متفاوت برای لوله تاوه‌ی خارجی ایجاد می‌شود. برای ساده‌سازی توضیح چنین شعاعی آن را شعاع تاوه می‌نامیم. محاسبه شعاع تاوه پیشنهادی برای هر تابع از رابطه (۱) تبعیت می‌کند:

$$R_i = \frac{(ub - lb)}{2} \times \left[0.02 + 0.08 \times \frac{\left(\exp(4(i-1)) \right)}{e^4 - 1} \right] \quad (1)$$

در این رابطه i شماره تاوه، MV حداکثر تعداد تاوه و ub و lb به ترتیب برابر با کران بالا و کران پایین هستند. این رابطه یک توالی صعودی از اعداد ایجاد می‌کند که به عنوان شعاع هر تاوه مورد استفاده قرار می‌گیرد. به عنوان نمونه در شکل (۲) تنوع شعاعی برای لوله‌های تاوه‌ها که با استفاده از رابطه (۱) بدست آمده، قابل مشاهده است. عدم یکسان بودن شعاع‌ها سبب می‌شود تا هر تاوه در فضای جستجو به میزان متفاوتی تأثیر بگذارد و این تأثیرگذاری متفاوت، همان‌طور که در ادامه به آن اشاره می‌شود، جستجوی محلی را بهینه می‌کند. الگوریتم با



شکل ۲- نمودار شعاع لوله‌های تاوه‌ها که با استفاده از رابطه (۱) بدست می‌آید.

ذره در تاوه i ام است که این ذره با ارزیابی ذرات درون تاوه با استفاده ازتابع ارزیابی مشخص می‌شود. $V_{V_{i,(it-1)}}$ سرعت تاوه i ام در تکرار قبلی است و $fluid_{G_{best,i}}$ برداری است برای تاوه i ام با استفاده از فاز بهترین سیال تصادفی بدست می‌آید. در رابطه (۲) ماتریس دوران است که بردار دوران را به اندازه زاویه‌ای تصادفی به مقدار θ که این زاویه بین 0° و 2π است، دوران می‌دهد.

$$M_R = \begin{bmatrix} C & -S & 0 & \dots & 0 \\ S & C & 0 & \dots & 0 \\ 0 & 0 & \dots & \dots & 0 \\ \vdots & \vdots & \vdots & \ddots & \vdots \\ 0 & 0 & 0 & \dots & 0 \end{bmatrix} \times \begin{bmatrix} 0 & 0 & 0 & \dots & 0 \\ 0 & C & -S & \dots & 0 \\ 0 & S & C & \dots & 0 \\ \vdots & \vdots & \vdots & \ddots & \vdots \\ 0 & 0 & 0 & \dots & 0 \end{bmatrix} \times \dots \times \begin{bmatrix} 0 & 0 & 0 & \dots & 0 \\ 0 & 0 & 0 & \dots & 0 \\ \vdots & \vdots & \vdots & \ddots & \vdots \\ 0 & 0 & \dots & C & -S \\ 0 & 0 & \dots & S & C \end{bmatrix} \quad (3)$$

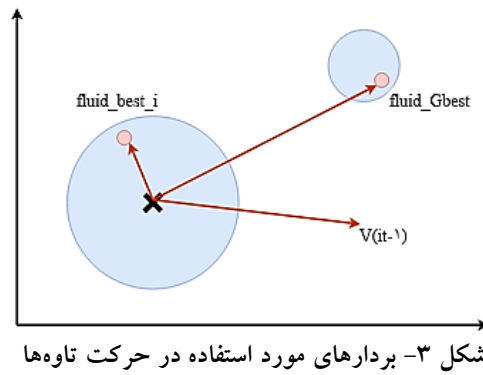
اگر C برابر با $\cos\theta$ و S برابر با $\sin\theta$ باشند، آنگاه ماتریس دوران M_R با ابعاد $dim \times dim$ برای تابعی با تعداد ابعاد dim با استفاده از رابطه (۳) بدست می‌آید. حال اگر ماتریس M_R بعدی $dim \times dim$ بود در یک بردار $dim \times 1$ ضرب کنیم، بردار مذکور به اندازه θ ، که برای هر ماتریس این زاویه متفاوت است، دوران می‌یابد. در لوله‌های تاوه، سرعت زاویه‌ای ذرات از فاصله تا هسته تاوه مستقل است و این یک عدد تصادفی است. ضرب M_R در $fluid_{best,i}$ منجر به تقویت توانایی جستجوی محلی برای هر تاوه و جلوگیری از بهدام افتادن ذرات در

پراکندگی تصادفی تاوه‌ها در فضای جستجو و پراکندگی تصادفی ذرات درون تاوه‌ها ادامه خواهد یافت. هر تاوه حداقل یک ذره در هسته خود قرار دارد. پس از آن سرعت اولیه هر تاوه محاسبه می‌شود. لازم بهذکر است که سرعت همه تاوه‌ها در ابتدا صفر است. در واقع، ذرات سیال هر تاوه در یک لوله تاوه قرار دارند که در شکل (۱) این لوله‌های تاوه بهوضوح قابل تشخیص هستند.

در گام بعدی، هر تاوه با محاسبه سرعتش با استفاده از رابطه (۲)، در فضای جستجو حرکت می‌کند.

$$V_{V_{i,it}} = \left(\Omega \times \overrightarrow{V_{V_{i,(it-1)}}} \right) + \left(r_i \times \overrightarrow{fluid_{G_{best,i}}} \right) + \left(r_i \times \overrightarrow{fluid_{best,i}} \right) \times M_R \quad (2)$$

که Ω ضریبی است که با افزایش تکرار، با توجه به رابطه (۲) کاهش می‌یابد که در شکل (۲) این کاهش نمایش داده شده است. تحلیل پیشنهاد غیرخطی بودن رابطه (۱) به این صورت است که در روش پیشنهادی لازم است لوله‌های با شعاع های بیشتر، جستجوی سراسری را انجام دهند لذا فاصله لوله‌های متوالی از یکدیگر زیاد است، اما زمانی که لوله با شعاع کم موجود است مفهوم روش پیشنهادی جستجوی محلی بوده است. از اینرو فاصله لوله های با شعاع کمتر از یکدیگر نیز کمتر است. r_2 عددی تصادفی بین 0° و 1° ، r_1 عددی تصادفی است که با احتمال بیش از 50% درصد بین 0° و 2° و در غیر این صورت بین 0° و 1° است. $fluid_{best,i}$ برداری بهسمت بهترین



شکل ۳- بردارهای مورد استفاده در حرکت تاوه‌ها

جستجو متقل می‌شود.

ضریب Ω در معادله (۲) به صورت رابطه (۴) تعریف می‌شود.

$$\Omega = \left| \frac{\exp\left(\frac{6 \times ((M_{it} - it) - 1)}{M_{it} - 1}\right) - 1}{\exp(6) - 1} \right| + 10^{-7} \quad (4)$$

Ω ضریبی است که در ابتدا سبب همگرایی سریع تاوه‌ها می‌شود. اما با افزایش تکرارها، این ضریب به تدریج کاهش می‌یابد تا پس از گذشت حدود ربع تکرارها، Ω به عددی نزدیک به صفر می‌رسد. این کار سبب محدود کردن منطقه‌ی جستجوی سراسری ذرات می‌شود. پس از رسیدن به این نقطه، سرعت همگرایی تاوه‌ها به آرامی افزایش می‌یابد تا با دقت بیشتری به جستجو پردازند (شکل ۴). حال همه ذرات یک تاوه باید با تاوه حرکت کنند و از یک لوله تاوه به سمت لوله تاوه داخل تر بروند. برای این هدف رابطه (۵) ارائه می‌شود.

$$P_{j_{V_i}} = V_{center_i} + [a_1 \times \vec{x}_{i,j} \times M_R] \quad (5)$$

که در آن $P_{j_{V_i}}$ موقعیت ذره j از تاوه i است، a_1 ضریبی است که توسط رابطه (۶) محاسبه می‌شود.

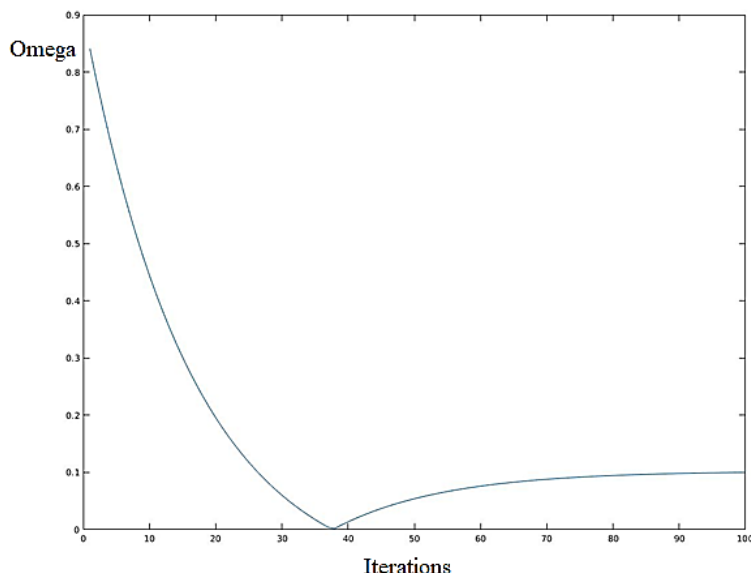
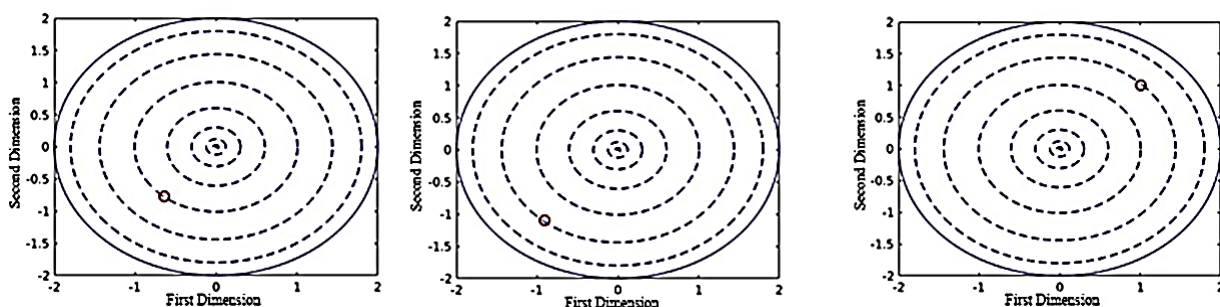
$$a_1 = \frac{M_{it} - it}{M_{it}} \quad (6)$$

که در آن M_{it} حداکثر تعداد تکرار و it شماره تکرار کنونی است. $\vec{x}_{i,j}$ برداری از مرکز قبلی تاوه i ام به سمت ذره j ام، M_R ماتریس دوران، و V_{center_i} موقعیت فعلی مرکز تاوه i ام است. a_1 سبب می‌شود که ذره در لوله تاوه کنونی دوران یابد و M_R

اکسترمهای محلی می‌شود. بدین صورت که هر تاوه به جای انتقال خطی به سمت نقطه هدف، با دوران بردار انتقال، به ناحیه‌ای در اطراف آن هدف متقل می‌شود (شکل ۳).

در فاز بهترین سیال تصادفی همه تاوه‌ها از معیاری به نام همسایه تصادفی استفاده می‌کنند. Q پارامتری است دارای مقدار ثابت برای تمامی تاوه‌ها و می‌تواند عددی بین ۱ و ۱۰۰ باشد. این مقدار مطابق با تابع و تعداد ابعاد تنظیم می‌شود. در فاز انتخاب بهترین سیال تصادفی هر تاوه Q تاوه دیگر از MV تاوه موجود در فضای جستجو به جز خودش را انتخاب می‌کند. پس از تعیین موقعیت بهترین ذره از تاوه‌های انتخاب شده با استفاده از تابع تناسب، یک بردار در جهت آن ذره ایجاد می‌شود و تاوه مورد بررسی را به سمت آن هدایت می‌کند (شکل ۳).

به کمک روابط (۱) و (۲)، هر تاوه می‌تواند با استفاده از اطلاعات به دست آمده از تکرارهای قبل و نتیجه جستجوی محلی و بهترین سراسری به سمت نقطه بهینه حرکت کند و از نقاط اکسترم محلی فاصله بگیرد. اهمیت مرحله انتخاب بهترین سیال تصادفی در این است که دیگر همه ذرات از یک ذره به عنوان بهترین کل استفاده نمی‌کنند. این عمل سبب کاهش نقش نویز در جایه‌جایی ذرات می‌شود. نقاط نویز، نقاطی هستند که یا در مینیمم محلی گیر کرده‌اند، یا در تکرارهای بعد تمامی ذرات را به این نقاط هدایت می‌کند و با باعث افزایش سرعت همگرایی ذرات در صفحه جستجو می‌شود. سپس بردار سرعت به دست آمده به موقعیت فعلی مرکز آن تاوه اضافه می‌شود و در نتیجه، این تاوه به یک موقعیت جدید در فضای

شکل ۴- نمودار رشد پارامتر Ω بر اساس تکرار

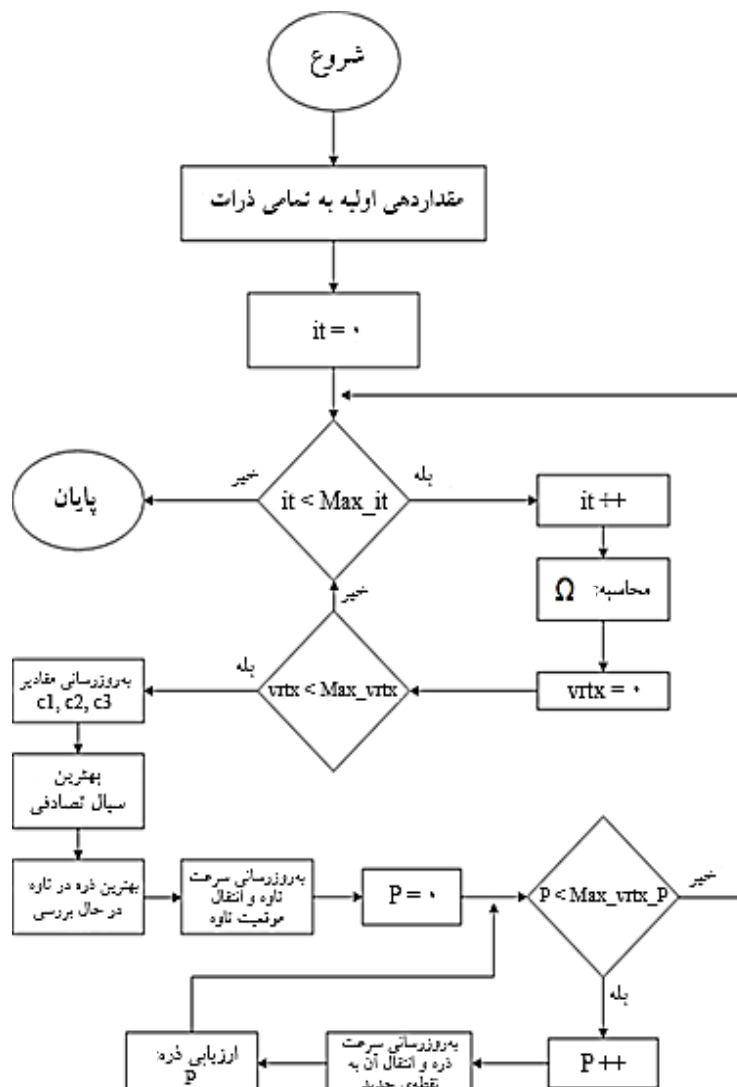
شکل ۵- دوران و انتقال ذرات در تاوه از یک لوله تاوه به ترتیب از شکل راست به چپ در روش پیشنهادی

خاکستری GWO [۲۹]، بهینه‌سازی موجود دریابی اسلپ SSA [۳۰]، بهینه‌سازی نهنگ WOA [۳۱] و بهینه‌سازی شیر مورچه ALO [۳۲]. این الگوریتم‌ها روی سه دسته از توابع معیار استاندارد، توابع ترکیبی و توابع ادغامی در ابعاد پنج، ده و پانزده بعد با بیست بار تکرار روی هر تابع، اجرا شده است. شرایط برای تمام الگوریتم‌ها یکسان است. برای تمام الگوریتم‌های دیگر بر اساس قطعه برنامه‌ای که نویسنده همان مقاله در دسترس قرار داده است اجرا گرفته شده است. توابع ارزیابی استاندارد مورد استفاده در جدول (۱) ارائه شده است. مقدار میانگین و انحراف معیار نتایج آن که در جداول (۲) تا (۴)

باشت انتقال همان ذره به لایه‌های داخلی‌تر می‌شود (شکل ۵). این فرآیند تا زمانی که شرایط پایان برقرار شود ادامه پیدا خواهد کرد. شرط پایان رسیدن به حداقل فراخوانی تابع ارزیابی است. در پایان همه تاوه‌ها به سمت یکدیگر متراکم و تمام ذرات در یک نقطه جمع می‌شوند. فلوچارت روش پیشنهادی در شکل (۶) ارائه شده است.

۴- نتایج پیاده‌سازی

الگوریتم بهینه‌سازی تاوه با چند الگوریتم بهینه‌سازی دیگر مقایسه شده است که عبارتند از: بهینه‌سازی گرگ‌های



شکل ۶- فلوچارت روش فراابتکاری تاوه پیشنهادی

ارزیابی g در x و سپس ارزیابی f در نتیجه g است. استفاده از این توابع پیشنهادی در مقایسه الگوریتم‌های بهینه‌سازی بدین گونه است که با استفاده از Dim (تعداد ابعاد تابع اصلی) تابع و قراردادن نتیجه آنها در یک تابع Dim بعدی دیگر، اقدام به یافتن اکسترمم سراسری تابع اصلی می‌کند. این توابع با این دیدگاه ارائه شده‌اند که پیچیدگی فضای جستجو بالاتر رود. روابط توابع ادغامی در جدول (۹) ارائه شده است. نتایج آن در جدول‌های (۱۰) تا (۱۲) برای ابعاد متفاوت ارائه شده است.

به ترتیب با نام‌های Ave و Std مشخص شده است، که برای آزمایش‌های دارای ابعاد متفاوت ارائه شده است. همچنین برای افزایش پیچیدگی فضای جستجو از توابع ترکیبی استفاده شده است. روابط توابع ترکیبی در جدول (۵) ارائه شده است. نتایج آن در جداول (۶) تا (۸) برای ابعاد متفاوت ارائه شده است.

در این مقاله معیار جدیدی برای مقایسه ارائه شده است که در آن از ادغام توابع استفاده شده است. ادغام دو تابع f و g به صورت $f(g(x))$ یا fog نمایش داده می‌شود که به معنای

جدول ۱- روابط توابع ارزیابی استاندارد

Function	Range	f_{min}
$f_1(x) = \sum x_i^r$	$[-100, 100]$	◦
$f_2(x) = \sum (x_i) + \prod (x_i)$	$[-10, 10]$	◦
$f_3(x) = \left(\sum x_j \right)^r$	$[-100, 100]$	◦
$f_4(x) = \max_i ((x_i)), 1 \leq i \leq n$	$[-100, 100]$	◦
$f_5(x) = \sum \left(100 \left(x_{i+1} - x_i \right)^r + (x_i - 1)^r \right)$	$[-30, 30]$	◦
$f_6(x) = \sum ((x_i + / 5))^r$	$[-100, 100]$	◦
$f_7(x) = \sum i x_i^r + \text{random}(0, 1)$	$[-1/28, 1/28]$	◦
$f_8(x) = \sum \left(x_i^r - 10 \cos(\pi x_i) + 10 \right)$	$[-5/12, 5/12]$	◦
$f_9(x) = -10 \exp \left(-10 / \sqrt{\frac{1}{n} \sum x_i^r} \right) - \exp \left(\frac{1}{n} \sum \cos(\pi x_i) \right) + 10 + e$	$[-32, 32]$	◦
$f_{10}(x) = \frac{1}{\pi} \sum x_i^r - \prod \cos \left(\frac{x_i}{\sqrt{i}} \right) + 1$	$[-600, 600]$	◦
$y_i = 1 + \frac{x_i + 1}{r}$	-	-
$u(x_i, a, k, m) = \begin{cases} k(x_i - a)^m & , \quad x_i > a \\ -k(x_i - a)^m & , \quad x_i < -a \end{cases}$	-	-
$f_{11}(x) = \frac{\pi}{n} \left(10 \sin(\pi y_1) + \sum (y_i - 1)^r \left(1 + 10 \sin^r(\pi y_{i+1}) \right) + (y_n - 1)^r \right) + \sum u(x_i, 10, 100, 4)$	$[-50, 50]$	◦
$f_{12}(x) = 10 / \left(\sin^r(3\pi x_1) + \sum (x_i - 1)^r \left(1 + \sin^r(3\pi x_i + 1) \right) + (x_n - 1)^r \left(1 + \sin^r(2\pi x_n) \right) \right) + \sum u(x_i, 5, 100, 4)$	$[-50, 50]$	◦
$f_{13}(x) = -\sum \sin(x_i) \left(\sin \left(\frac{ix_i}{\pi} \right) \right)^{rm}, \quad m = 10$	$[0, \pi]$	$-4/687$

مورد مقایسه قرار گرفت. نتایجی که مرجع [۴۰] گزارش کرده در برابر نتایج روش پیشنهادی این مقاله در جدول (۱۳) ارائه شده است. نتایج، نشان دهنده برتری روش ارائه شده در این مقاله است.

برای مقایسه روش پیشنهادی با روش VS [۴۰]، نتایجی در مقاله مرجع [۴۰] در تابع F13 در دو حالت ارزیابی شده است که شرایطی مشابه آزمایش‌های روش پیشنهادی دارد؛ لذا به مقایسه این دو روش پرداخته می‌شود. تابع F13 در دو حالت آزمایش اول و آزمایش دوم در حالت‌های پنج بعدی و ده بعدی

جدول ۲- نتایج پیاده‌سازی روی توابع ارزیابی استاندارد در پنج بعد برای روش پیشنهادی در مقایسه با روش‌های دیگران

F	VOA		GWO		SSA		WOA		ALO	
	Ave	Std	Ave	Std	Ave	Std	Ave	Std	Ave	Std
F1	۷/۸۲۱۷۵e-۲۰	۹/۹۴۲۵۵e-۲۰	۸/۶۷۹۶e-۱۴	۲/۲۰۵۷e-۱۳	۸/۴۰۷۰e-۱۰	۱/۳۷۷۷e-۹	۲/۲۶۷۱۶e-۹	۵/۰۸۷۲۴e-۹	۳/۰۰۷۷۱e-۷	۴/۷۴۳۸۲e-۷
F2	۳/۴۱۹۰۹e-۱۱	۲/۴۲۲۱۸e-۱۱	۶/۴۲۳۷۳e-۹	۸/۰۳۷۸۴e-۹	۳/۰۴۹۵۶e-۵	۷/۰۶۷۹۶e-۵	۶/۰۶۲۳۳e-۷	۶/۰۶۷۲۱e-۷	۹/۳۹۸۸۹e-۵	۸/۹۹۲۴۵e-۵
F3	۲/۳۴۱۴۸e-۱۳	۶/۱۸۰۸۱e-۱۳	۲/۶۵۱۲۵e-۷	۶/۰۵۰۳۸e-۷	۷/۰۴۶۲۵e-۳	۱/۷۳۳۴e-۲	۶/۷۳۲۲۹e+۱	۸/۲۸۹۶۶e+۱	۹/۱۲۹۵۹e-۱	۳/۰۶۲۱۱e+۰
F4	۱/۰۷۷۰۲e-۹	۸/۸۸۳۲۳e-۱۰	۶/۱۰۰۵۶e-۶	۱/۴۷۲۴۹e-۵	۱/۷۵۰۴۲e-۵	۱/۳۵۹۲۴e-۵	۵/۰۴۵۸۲e-۱	۶/۰۸۷۱۴e-۱	۱/۰۹۲۸۱e-۳	۲/۲۷۰۳۸e-۳
F5	۱/۰۲۸۹۱e+۱	۴/۰۵۵۰۱e+۱	۲/۱۰۰۹۷e+۰	۱/۰۴۸۲۴e+۰	۶/۹۰۷۴۳e+۱	۱/۶۳۴۴۶e+۲	۱/۳۷۷۵۸e+۲	۲/۳۲۸۰۴e+۲	۲/۱۴۸۸۹e+۲	۵/۳۲۳۹۵e+۲
F6	۵/۰۸۶۲۲۹e-۲۰	۶/۷۳۳۷۱e-۲۰	۲/۷۴۳۲۱e-۵	۱/۰۵۶۷۴e-۵	۲/۰۷۱۲۵e-۹	۷/۱۰۴۳۸e-۹	۱/۰۵۳۹۲e-۳	۱/۹۱۳۷۷e-۳	۱/۹۲۲۷۷e-۷	۲/۳۷۸۵۳e-۷
F7	۲/۴۹۱۶۰e-۳	۱/۹۲۲۰۴e-۳	۷/۲۰۵۱۰e-۴	۵/۰۲۶۱۸e-۴	۳/۳۱۶۶۵e-۳	۲/۱۴۲۲۱e-۳	۷/۰۰۷۷۷e-۳	۸/۴۷۵۳۹e-۳	۷/۰۲۴۱۵e-۳	۷/۱۴۵۳۴e-۳
F8	۱/۰۴۲۱۹e+۰	۱/۲۲۸۱۵e+۰	۱/۹۸۴۱۵e+۰	۱/۴۸۸۸۲e+۰	۴/۲۲۸۵۷e+۰	۲/۰۱۸۶۲e+۰	۳/۲۱۶۴۱e+۰	۴/۱۱۸۹۹e+۰	۵/۳۷۲۷۷e+۰	۷/۹۳۰۲۶e+۰
F9	۱/۱۰۲۶۰e-۱۰	۷/۰۱۲۱۱e-۱۱	۱/۰۰۷۹۸e-۷	۱/۱۰۱۹۱e-۷	۳/۹۶۳۱۹e-۱	۸/۲۷۶۲۵e-۱	۱/۳۵۷۴۵e-۵	۱/۰۶۰۵۸e-۵	۸/۲۹۳۶۱e-۲	۳/۶۷۹۶۰e-۱
F10	۸/۲۵۲۸۵e-۲	۵/۱۹۷۳۰e-۲	۸/۰۳۴۴۱e-۲	۶/۴۸۵۲۰e-۲	۲/۱۵۰۸۲e-۱	۱/۱۸۹۲۲e-۱	۱/۸۹۹۱۱e-۱	۲/۱۷۰۷۵e-۱	۱/۴۹۸۰۲e-۱	۱/۰۸۵۹۵e-۱
F11	۳/۹۳۵۰۷e-۲۱	۴/۶۸۲۵۵e-۲۱	۱/۷۴۷۸۲e-۵	۱/۱۶۸۴۰e-۵	۳/۸۱۰۳۸e-۱	۷/۶۹۳۳۳e-۱	۱/۲۷۴۱۱e-۱	۳/۰۰۰۲۸e-۱	۲/۳۵۸۷۳e+۰	۳/۰۴۹۴۶e+۰
F12	۵/۰۴۹۳۶۸e-۴	۲/۴۵۶۸۰e-۳	۴/۴۵۸۰۱e-۵	۲/۱۸۱۴۰e-۵	۱/۳۴۸۱۱e-۳	۳/۳۶۰۰۹e-۳	۱/۰۶۷۳۱e-۲	۱/۲۳۳۹۲e-۲	۱/۶۹۶۶۶e-۳	۵/۱۸۸۶۰e-۳
F13	۸/۱۳۸۴۲e-۴	۱/۲۲۲۰۴e-۳	۶/۳۱۱۸۶e-۴	۱/۲۸۴۰۸e-۲۰	۱/۸۹۲۳۱e-۳	۴/۳۷۱۴۳e-۳	۹/۴۷۰۳۰e-۴	۶/۹۸۰۴۳e-۴	۲/۱۰۷۷۲e-۳	۱/۸۰۵۸۹e-۳

جدول ۳- نتایج پیاده‌سازی روی توابع معیار استاندارد در ده بعد برای روش پیشنهادی در مقایسه با روش‌های دیگران

F	VOA		GWO		SSA		WOA		ALO	
	Ave	Std	Ave	Std	Ave	Std	Ave	Std	Ave	Std
F1	۲/۰۴۱۷۵e-۲۴	۲/۲۱۷۰e-۲۴	۸/۱۶۱۱۵e-۱۶	۱/۲۹۴۹۸e-۱۵	۴/۳۳۵۰۶e-۹	۴/۷۰۹۴۹e-۹	۸/۰۵۷۹۱e-۱۹	۱/۰۷۷۳۷e-۱۸	۰/۰۵۷۷۳e-۶	۰/۴۷۹۲۳e-۶
F2	۱/۴۸۸۷۸e-۱۳	۱/۹۶۴۹۰e-۱۳	۱/۶۲۰۵۱۷e-۹	۲/۲۲۱۷۰e-۹	۱/۰۹۲۶۰e-۲	۳/۱۹۱۴۱e-۲	۵/۱۳۰۹۰e-۱۲	۱/۲۱۱۲۴۸e-۱۱	۰/۰۸۷۵۰e+۰	۲/۳۸۳۵۰e+۰
F3	۸/۶۱۲۳۰e-۵	۱/۷۹۳۸۰e-۴	۲/۹۶۰۷۹e-۹	۶/۰۹۸۱۶e-۹	۳/۰۵۱۴۰e+۰	۹/۷۷۹۴۸e+۰	۱/۳۲۷۹۷e+۳	۹/۸۴۵۰۸e+۲	۹/۰۵۷۰۲e+۱	۱/۷۳۳۷۷e+۱
F4	۹/۱۹۷۱۷e-۸	۱/۶۳۳۰۱e-۷	۲/۳۹۹۵۸e-۵	۱/۷۶۰۴۰e-۵	۲/۰۵۵۹۵e-۲	۳/۷۷۶۷۴e-۲	۲/۳۱۳۷۱e+۰	۷/۷۶۸۸۷e+۰	۷/۲۶۲۸۶e-۱	۱/۳۱۰۷۵e+۰
F5	۱/۲۲۷۹۵e+۱	۲/۰۸۳۲۴e+۱	۷/۰۴۴۶۳e+۰	۱/۰۳۷۸۴e+۰	۱/۸۰۸۵۵e+۲	۴/۶۲۱۱۲e+۲	۷/۸۲۱۵۳e+۰	۵/۴۵۷۱۸e-۱	۲/۹۳۲۹۱e+۲	۲/۹۴۰۲۲e+۲
F6	۴/۴۶۸۱۹e-۲۲	۱/۰۲۷۶۷e-۲۲	۴/۸۰۷۶۷e-۵	۱/۰۵۳۴۲e-۵	۱/۲۱۴۵۸e-۸	۳/۷۷۳۹۶e-۸	۹/۰۵۷۱۲۳e-۳	۷/۱۷۲۷۱e-۳	۸/۳۰۵۹۹e-۸	۵/۰۳۴۰۰e-۸
F7	۸/۷۲۸۰۵e-۳	۰/۹۰۰۱۸e-۳	۱/۰۵۷۸۴۸e-۳	۱/۱۴۹۰۷e-۳	۹/۸۶۶۳۸e-۳	۵/۰۲۷۸۳e-۳	۵/۷۹۸۲۸e-۳	۹/۱۳۵۴۲e-۳	۱/۹۴۳۸۳e-۲	۱/۰۸۱۱۹e-۲
F8	۲/۷۸۸۴۱e+۰	۱/۲۱۲۱۴e+۰	۳/۳۷۰۰۴e+۰	۲/۱۸۰۵۲e+۰	۹/۰۰۴۳۷e+۰	۰/۸۷۷۱۷e+۰	۳/۰۹۲۸۱e+۰	۹/۴۱۲۰۸e+۰	۱/۷۴۱۱۸e+۰	۰/۳۱۶۹e+۰
F9	۰/۲۹۵۳۲e-۱۳	۳/۶۸۴۲۵e-۱۳	۱/۸۰۵۰۹e-۸	۱/۱۸۹۲۱۸e-۸	۸/۶۹۹۶۶e-۱	۸/۱۲۲۷۴e-۱	۲/۱۸۹۳۵e-۱۰	۱/۰۴۲۲۲e-۱۰	۱/۰۹۲۲e-۱۰	۱/۰۸۰۳۹e-۱
F10	۲/۳۵۱۴۸e-۲	۱/۸۴۶۹۷e-۲	۳/۸۱۸۶۶e-۲	۳/۰۰۰۴۵e-۲	۱/۰۵۶۹۲e-۱	۹/۱۹۱۶۱e-۲	۶/۷۳۱۲۱e-۲	۱/۴۰۳۹۸e-۱	۱/۰۹۸۰۴e-۱	۱/۱۲۲۲۲e-۱
F11	۴/۸۷۹۴۹e-۲۶	۷/۰۱۸۱۷e-۲۶	۳/۰۴۱۸۸e-۳	۷/۴۰۲۹۰e-۳	۱/۳۵۴۸۹e+۰	۱/۱۲۳۵۰e+۰	۱/۹۸۸۰۹e-۲	۱/۰۹۹۰۵e-۲	۲/۳۸۵۱۲e+۰	۱/۶۸۲۶۲e+۰
F12	۳/۲۹۶۲۱e-۳	۰/۱۶۵۸۵e-۳	۴/۹۲۰۳۹e-۲	۲/۱۸۲۷۶e-۲	۴/۳۷۰۰۵۵e-۳	۶/۳۶۷۳۶e-۳	۳/۰۵۷۹۱۵e-۲	۲/۷۹۵۰۵e-۲	۲/۰۴۰۸۹e-۳	۷/۶۹۶۲۶e-۳
F13	۵/۳۶۲۲۰e-۴	۳/۷۸۴۵۲e-۴	۲/۰۵۶۹۰۳e-۳	۸/۰۹۱۱۲e-۳	۸/۴۳۰۲۴e-۴	۲/۹۰۰۰۵۱e-۴	۹/۲۵۳۰۸e-۴	۹/۰۷۴۴۷e-۴	۴/۱۸۰۴۵e-۴	۳/۰۹۵۲۴e-۴

جدول ۴- نتایج پیاده سازی روی توابع معیار استاندارد در پاتزده بعد برای روش پیشنهادی در مقایسه با روش های دیگران

F	VOA		GWO		SSA		WOA		ALO	
	Ave	Std	Ave	Std	Ave	Std	Ave	Std	Ave	Std
F1	۲/۰۸۵۳۶۱ e -۱۱۲/۴۰۸۸۳ e -۱۱۴/۰۸۷۹۱ e -۶ ۲/۲۹۸۱۱ e -۶ ۱/۴۷۲۵۰ e +۰ ۱/۲۲۹۲۹ e -۹ ۲/۸۰۰۲۲ e -۹ ۱/۱۸۴۹۷ e +۱ ۱/۹۷۵۱۲ e +۱									
F2	۱/۸۰۱۱۷ e -۶ ۱/۰۲۶۷۳ e -۶ ۲/۹۷۷۷۲ e -۴ ۱/۴۲۹۷۱ e -۴ ۱/۰۰۶۱۳ e +۰ ۱/۱۳۶۲۹ e +۰ ۲/۴۲۳۵۰ e -۶ ۱/۴۱۵۲۶ e -۶ ۱/۰۵۰۴۳۱ e +۱ ۹/۹۷۴۷۵ e +۰									
F3	۳/۷۷۴۱۸ e -۱ ۰/۹۲۱۵۲ e -۱ ۳/۱۱۵۶۵ e -۱ ۲/۹۹۱۸۸ e -۱ ۱/۶۴۴۵۷ e +۲ ۱/۰۱۳۸۲ e +۲ ۹/۱۸۸۱۱ e +۳ ۱/۹۷۹۲۵ e +۳ ۷/۷۴۲۳۶ e +۲ ۳/۸۶۸۰۵ e +۲									
F4	۱/۹۳۸۰۰ e -۳ ۲/۰۴۳۴۸ e -۳ ۴/۴۹۶۱۱ e -۲ ۳/۷۰۵۷۴ e -۲ ۲/۱۹۳۰۸ e +۰ ۱/۰۹۸۶۸ e +۰ ۱/۱۶۳۱۴ e +۱ ۱/۶۰۸۲۰ e +۱ ۶/۲۰۲۶۳ e +۰ ۲/۴۸۲۵۳ e +۰									
F5	۱/۰۴۱۶۵۰ e +۱ ۲/۰۹۱۴۶ e +۰ ۱/۴۷۰۹۵ e +۱ ۱/۱۶۶۴۴ e +۱ ۳/۸۴۷۸۷ e +۲ ۵/۱۸۹۷۷ e +۲ ۱/۳۲۴۸۴ e +۱ ۳/۸۷۹۱۹ e -۱ ۱/۸۹۸۰۳ e +۳ ۲/۴۵۲۲۸ e +۳									
F6	۲/۲۴۶۸۴ e -۱۱۱/۶۴۱۰۶ e -۱۱۲/۰۵۷۲۱ e -۲ ۷/۷۹۹۱۴ e -۲ ۲/۲۷۷۲۱ e +۰ ۲/۹۱۰۶۹ e +۰ ۵/۸۰۷۰۹ e -۲ ۴/۴۰۰۴۶ e -۲ ۱/۰۴۹۲۵ e +۱ ۲/۳۱۹۷۳ e +۱									
F7	۱/۲۶۲۷۷ e -۲ ۸/۹۹۲۲۳ e -۲ ۲/۰۵۴۹۴ e -۳ ۸/۳۹۳۹۵ e -۴ ۱/۰۵۸۶۹۰ e -۲ ۹/۱۹۳۷۷ e -۳ ۳/۲۹۹۵۸ e -۳ ۲/۴۶۵۴۱ e -۳ ۴/۲۷۶۳۳ e -۲ ۲/۳۸۵۸۸ e -۲									
F8	۰/۶۲۱۵۲ e +۰ ۱/۹۹۷۱۱ e +۰ ۸/۹۷۰۹۰ e +۰ ۲/۶۵۹۴۰ e +۰ ۱/۱۰۶۹۶ e +۱ ۴/۷۴۸۰۶ e +۰ ۳/۴۶۸۶۶ e +۰ ۱/۲۱۸۴۰ e +۱ ۲/۳۲۲۸۹ e +۱ ۱/۰۷۱۵۶ e +۱									
F9	۲/۲۴۳۲۱ e -۱ ۶/۰۳۶۸۴ e -۱ ۶/۱۴۲۴۵ e -۴ ۴/۳۵۱۵۴ e -۴ ۲/۱۷۴۹۱ e +۰ ۷/۶۷۰۸۱ e -۱ ۱/۴۰۲۵۱ e -۵ ۱/۲۶۴۳۵ e -۵ ۴/۲۰۰۴۹ e +۰ ۱/۶۳۸۷۲ e +۰									
F10	۴/۴۳۷۶۰ e -۲ ۴/۲۸۷۷۰ e -۲ ۲/۸۹۱۰۲ e -۲ ۲/۷۶۵۹۷ e -۲ ۴/۷۴۸۳۴ e -۱ ۲/۷۵۰۲۴ e -۱ ۵/۸۰۱۲۴ e -۲ ۱/۰۵۰۵۵ e -۱ ۵/۱۲۵۰۳ e -۱ ۳/۹۷۴۶۳ e -۱									
F11	۴/۱۴۶۷۶ e -۲ ۸/۰۵۰۸۹۷ e -۲ ۴/۳۶۶۹۴ e -۳ ۷/۰۶۶۶۰ e -۳ ۲/۲۳۰۳۰ e +۰ ۱/۷۷۷۹۰ e +۰ ۸/۸۸۵۸۸ e -۲ ۳/۰۶۸۹۰ e -۱ ۲/۸۹۲۶۰ e +۰ ۲/۱۳۰۰۵ e +۰									
F12	۳/۲۹۶۲۱ e -۳ ۰/۱۶۵۸۵ e -۲ ۵/۷۷۲۹۰ e -۳ ۱/۷۴۲۲۴ e -۲ ۷/۰۵۴۵۸ e -۱ ۷/۰۵۷۶۸۴ e -۱ ۸/۴۳۳۲۴ e -۲ ۴/۴۲۲۷۳ e -۲ ۴/۰۴۴۰۰ e +۰ ۰/۹۸۴۹۶ e +۰									
F13	۳/۰۸۷۵۱ e -۴ ۲/۲۹۲۵۰ e -۴ ۰/۹۶۲۲۳ e -۴ ۲/۳۰۲۹۰ e -۴ ۶/۷۷۱۳۴ e -۴ ۳/۵۸۹۳۹ e -۴ ۶/۴۷۱۱۷ e -۴ ۳/۱۵۱۱۵ e -۴ ۲/۱۴۲۸۴ e -۳ ۴/۳۱۹۷۶ e -۳									

جدول ۵- روابط توابع معیار ترکیبی

Function	Range	f_{min}
$f_{14}(x) = f_1(x) + f_v(x) + f_q(x)$	[-۱۰, ۱۰]	۰
$f_{15}(x) = f_1(x) + f_r(x) + f_s(x)$	[-۱۰۰, ۱۰۰]	۰
$f_{16}(x) = f_q(x) + f_{11}(x) + f_{12}(x)$	[-۱۰۰, ۱۰۰]	۰
$f_{17}(x) = f_1(x) + f_5(x) + f_s(x)$	[-۳۰, ۳۰]	۰

جدول ۶- نتایج پیاده سازی روی توابع معیار ترکیبی در پنج بعد برای روش پیشنهادی در مقایسه با روش های دیگران

F	VOA		GWO		SSA		WOA		ALO	
	Ave	Std	Ave	Std	Ave	Std	Ave	Std	Ave	Std
F14	۲/۸۹۹۹۹ e -۲ ۱/۲۰۸۷۱ e -۲ ۲/۰۳۷۰۲ e -۲ ۷/۱۱۷۴۷ e -۳ ۱/۱۰۳۲۹ e +۱ ۵/۰۲۵۸۸ e -۲ ۵/۰۸۲۵۰ e -۲ ۲/۷۳۲۳۹ e -۲ ۷/۴۲۹۴۵ e -۲ ۴/۴۶۹۵۱ e -۲									
F15	۱/۲۵۰۷۱ e +۰ ۳/۴۳۸۹۸ e -۴ ۱/۲۵۰۱۳ e +۰ ۴/۲۲۰۸۰ e -۵ ۱/۲۵۱۰۳ e +۰ ۹/۳۹۷۵۷ e -۴ ۱/۲۵۰۰۰ e +۰ ۳/۴۹۸۶۲ e -۷ ۱/۲۵۰۲۲ e +۰ ۲/۱۰۱۳۸ e -۴									
F16	۳/۲۳۰۴۶ e +۰ ۱/۱۸۹۶۸ e -۱ ۳/۲۰۸۱۱ e +۰ ۱/۹۳۱۵۴ e -۳ ۳/۸۵۱۷۹ e +۰ ۱/۵۴۴۲۳ e +۰ ۳/۸۲۸۲۳ e +۰ ۰/۷۶۹۶۴ e -۱ ۳/۴۸۰۸۷ e +۰ ۴/۳۹۳۴۸ e -۱									
F17	۵/۱۲۲۵۹ e +۰ ۳/۳۶۶۳۷ e -۶ ۵/۱۲۹۰۰ e +۰ ۲/۸۳۴۰۸ e -۲ ۲/۲۴۶۹۰ e +۲ ۶/۰۳۶۷۹ e +۲ ۰/۳۳۵۲۷ e +۱ ۲/۱۵۳۶۱ e +۲ ۰/۴۹۶۷۸ e +۲ ۹/۰۵۳۰۹۹ e +۲									
F18	۲/۶۴۷۰۳ e +۰ ۱/۹۱۸۵۴ e +۰ ۲/۸۸۰۴۷ e +۰ ۲/۷۲۶۷۶ e +۰ ۶/۲۵۷۲۵ e +۰ ۲/۰۵۲۱۲ e +۰ ۲/۴۹۹۰۰ e +۰ ۱/۹۴۰۰۷ e +۰ ۷/۴۵۸۰۵ e +۰ ۳/۴۶۲۸۰ e +۰									

جدول ۷- نتایج پیاده سازی روی توابع معیار ترکیبی در ده بعد برای روش پیشنهادی در مقایسه با روش های دیگران

F	VOA		GWO		SSA		WOA		ALO	
	Ave	Std	Ave	Std	Ave	Std	Ave	Std	Ave	Std
F14	۰/۶۰۶۷۵ e -۲ ۲/۳۸۳۳۱ e -۲ ۲/۴۹۴۵۸ e -۲ ۶/۹۴۲۲۵ e -۳ ۱/۹۱۷۵۸ e -۱ ۷/۳۷۰۴۰ e -۲ ۲/۷۴۲۱۱ e -۲ ۱/۴۵۰۳۲ e -۲ ۱/۵۴۲۹۸ e -۱ ۶/۷۲۴۸۱ e -۲									
F15	۲/۴۰۱۰۵ e +۰ ۰/۸۸۶۹۴ e -۴ ۲/۳۹۹۶۴ e +۰ ۴/۱۱۶۵۲ e -۵ ۲/۴۰۱۹۳ e +۰ ۰/۷۱۳۹۲ e -۳ ۲/۴۰۵۴۰ e +۰ ۴/۱۲۱۳۶ e -۳ ۲/۴۰۱۰۷ e +۰ ۲/۳۲۴۸۷ e -۴									
F16	۳/۴۵۴۳۰ e +۰ ۴/۸۷۵۷۵ e -۲ ۳/۴۴۵۲۳ e +۰ ۲/۸۵۰۶۳ e -۴ ۵/۱۹۹۳۷ e +۰ ۱/۳۶۰۳۴ e +۰ ۳/۵۵۶۲۶ e +۰ ۸/۲۶۸۵۲ e -۲ ۴/۷۸۱۳۸ e +۰ ۱/۷۷۴۷۱ e +۰									
F17	۱/۱۳۶۰۳ e +۱ ۲/۸۵۸۹۵ e -۸ ۱/۱۳۶۲۸ e +۱ ۸/۹۱۲۷۹ e -۳ ۸/۹۶۸۲۹ e +۱ ۱/۲۶۵۴۵ e +۲ ۱/۱۳۷۲۸ e +۱ ۱/۲۷۹۹۱ e -۲ ۲/۰۵۲۵۳ e +۲ ۹/۰۸۵۰۷ e +۲									
F18	۷/۴۱۸۷۸ e +۰ ۰/۳۱۰۹۶ e +۰ ۱/۰۹۳۲۶ e +۱ ۱/۰۹۳۷۵ e +۱ ۰/۸۷۳۴۵ e +۰ ۰/۸۹۰۱۱ e +۰ ۱/۹۷۹۹۶ e -۳ ۲/۰۷۰۱۹ e +۱ ۹/۴۸۸۷۵ e +۰									

جدول ۸- نتایج پیاده سازی روی توابع معیار ترکیبی در پانزده بعد برای روش پیشنهادی در مقایسه با روش‌های دیگران

F	VOA		GWO		SSA		WOA		ALO	
	Ave	Std								
F1۴۲/۶۶۹۹۷e-۱۵/۱۷۷۷e-۲۱/۹۴۵۸e-۱۵/۱۸۱۱۹e-۲۱/۰۱۴۷۴e+۱ ۳/۱۴۳۴۳e+۰ ۱/۲۵۲۲۵e-۱ ۵/۸۰۰۳۸e-۲ ۱/۲۶۶۴۶e+۱ ۱/۳۵۸۲۰e+۱										
F1۵۴/۹۴۵۸۵e+۰/۸۳۳۵۸e-۱۳/۰۵۷۰۷e+۰ ۳/۷۷۹۵۱e-۱ ۱/۸۴۴۰۴e+۲ ۵/۶۸۹۹۸e+۱ ۳/۵۷۹۴۸e+۰ ۳/۰۶۰۶۵e-۱ ۱/۷۱۳۲۲e+۲ ۱/۱۴۰۲۲e+۲										
F1۶۶/۴۵۵۰۵e+۰/۰۲۰۲۱۰e-۱۵/۹۵۰۶e+۰ ۱/۱۹۲۱۴e+۰ ۹/۲۲۷۴۵e+۳ ۳/۷۲۰۱۴e+۴ ۵/۴۰۷۵۵e+۰ ۱/۱۸۹۵۶e+۰ ۲/۵۴۹۹۹e+۴ ۵/۲۲۲۱۵e+۴										
F1۷۲/۹۹۸۷۵e+۱۸/۷۱۴۹۹e+۰ ۳/۹۹۵۹۹e+۱ ۲/۸۵۰۲۲e+۱ ۲/۸۷۷۱۵e+۳ ۲/۷۵۸۲۱e+۳ ۵/۹۵۹۹۶e+۱ ۱/۷۲۹۹۸e+۲ ۷/۱۰۹۵۳e+۳ ۷/۷۴۰۱۶e+۳										
F1۸۵/۳۱۰۴۹e+۰/۰۱۸۸۲e+۰ ۱/۷۲۰۶۹e+۰ ۱۴/۸۵۱۷۶e+۰ ۳/۹۱۱۴۱e+۱ ۷/۷۴۹۲۱e+۰ ۱/۰۸۵۸۸e+۱ ۹/۷۷۱۶۹e+۰ ۴/۲۸۴۶۸e+۱ ۱/۳۶۰۳۷e+۱										

جدول ۹- روابط توابع معیار ادغامی، خروجی چند تابع به عنوان پارامتر ورودی یک تابع

Function	Range	f_{\min}
$f_{\chi}(x) = f_{\varphi}(f_{\lambda}, f_{\alpha}, f_{\beta}, f_{\gamma}, f_{\delta})$	[-100, 100]	0
$f_{\chi_1}(x) = f_{\varphi}(f_{\lambda}, f_{\alpha}, f_{\beta}, f_{\gamma}, f_{\delta})$	[-32, 32]	0
$f_{\chi_2}(x) = f_{\varphi}(f_{\lambda}, f_{\alpha}, f_{\beta}, f_{\gamma}, f_{\delta})$	[-100, 100]	0
$f_{\chi_3}(x) = f_{\varphi}(f_{\lambda}, f_{\alpha}, f_{\beta}, f_{\gamma}, f_{\delta})$	[-100, 100]	0
$f_{\chi_4}(x) = f_{\varphi}(f_{\lambda}, f_{\alpha}, f_{\beta}, f_{\gamma}, f_{\delta})$	[-10, 10]	0
$f_{\chi_5}(x) = f_{\varphi}(f_{\lambda}, f_{\alpha}, f_{\beta}, f_{\gamma}, f_{\delta})$	[-35, 35]	0

جدول ۱۰- نتایج پیاده سازی روی توابع معیار ادغامی در پنج بعد برای روش پیشنهادی در مقایسه با روش‌های دیگران

F	VOA		GWO		SSA		WOA		ALO	
	Ave	Std								
F1۹/۶۵۱۶۲۰e+۱ ۶/۲۵۲۳۶e+۱ ۵/۶۵۸۷۵e+۱ ۳/۷۵۷۲۶e+۱ ۶/۷۲۱۶۹e+۲ ۸/۵۲۳۷۱e+۲ ۳/۹۴۳۱۶e+۲ ۶/۳۲۶۳۹e+۲ ۳/۰۱۸۵۷e+۲ ۴/۱۷۴۴e+۲										
F2۰/۱۰۷۳۳۵e-۹ ۶/۰۶۶۵۶e-۱۰ ۲/۷۴۰۶۳e-۸ ۴/۰۱۲۷۳e-۸ ۳/۵۴۲۶۱e-۳ ۱/۰۳۴۳۸e-۲ ۳/۰۵۰۶۹e-۶ ۴/۱۳۱۴۵e-۶ ۲/۵۲۰۸۷e-۲ ۱/۱۰۳۴۳e-۱										
F2۱/۲/۹۱۸۰۹e+۱ ۳/۹۹۱۹۰e+۰ ۲/۸۹۰۱۶e+۱ ۱/۸۴۰۹۶e+۰ ۴/۶۱۴۶۳e+۱ ۳/۲۶۴۱۸e+۱ ۳/۷۱۶۸۰e+۱ ۱/۲۷۸۰۶e+۱ ۳/۱۰۲۷۸e+۱ ۳/۳۴۴۶۶e+۰										
F2۲۱/۳۸۳۴۷e-۱۸ ۱/۱۴۰۹۸e-۱۸ ۱/۶۹۷۴۲e-۵ ۱/۰۱۲۷۹e-۵ ۵/۲۷۸۳۶e-۱ ۹/۶۳۵۲۲e-۱ ۴/۱۳۷۹۱e-۲ ۶/۱۶۴۱۶e-۲ ۹/۵۸۷۹۹e-۱ ۱/۴۰۶۳۶e+۰										
F2۲۳/۶۸۸۲۴e-۱۲ ۱/۳۹۶۳۷e-۱۱ ۲/۰۷۷۳۹e-۸ ۳/۹۱۰۰۸e-۸ ۸/۶۳۲۶۳e-۴ ۳/۰۵۶۱۹e-۳ ۳/۲۶۰۴۲e+۱ ۱/۱۸۱۰۸e+۲ ۵/۲۵۷۰۸e-۱ ۱/۰۵۷۰۵e+۰										
F2۴/۴/۶۲۳۳۴e+۰ ۱/۸۲۲۵۰e-۱۰ ۴/۶۲۳۵۰e+۰ ۸/۲۲۷۸۹e-۵ ۱/۰۸۰۵۱e+۱ ۴/۶۴۹۳۳e+۰ ۱/۲۹۶۲۱e+۱ ۱/۰۵۰۸۲۴e+۱ ۷/۳/۰۵۹۸۹e+۰										

جدول ۱۱- نتایج پیاده سازی روی توابع معیار ادغامی در ده بعد برای روش پیشنهادی در مقایسه با روش‌های دیگران

F	VOA		GWO		SSA		WOA		ALO	
	Ave	Std								
F1۹/۳/۹۱۷۸۰e+۲ ۲/۳۵۴۱۷e+۲ ۲/۰۵۳۹۴e+۲ ۲/۳/۶۷۲۶۳e+۲ ۶/۲۰۸۴۳e+۳ ۵/۹۸۴۹۸e+۳ ۱/۷۳۴۴۶e+۳ ۵/۱۰۲۰۱e+۳ ۱/۹۴۴۰۵e+۳ ۱/۳۶۲۸۷e+۳										
F2۰/۰/۴۰۱۳۴e-۱۳ ۴/۳۸۸۲۸e-۱۳ ۶/۸۹۹۰۸e-۹ ۵/۸۹۹۹۴e-۹ ۵/۰۲۷۰۵e-۲ ۱/۸۳۷۲۹e-۱ ۱/۷۷۸۰۵e-۱۱ ۲/۶۳۲۰۳e-۱۱ ۷/۳۲۶۳۲e+۲ ۹/۷۵۹۱۵e+۲										
F2۱/۹/۳۹۸۹۰e+۱ ۷/۳۶۵۰۲e+۰ ۸/۹۸۵۰e+۰ ۱/۳/۹۴۶۹۲e-۱ ۳/۸۶۳۷۶e+۲ ۹/۷۲۸۹۱e+۲ ۱/۰۸۰۴۰e+۲ ۵/۲۱۶۰۱e+۱ ۱/۰۴۸۲۴e+۲ ۲/۰۸۷۴۴e+۱										
F2۲۲/۵/۲۷۹۱۱e-۲۵ ۵/۳۹۴۷۷e-۲۵ ۳/۸۷۴۱۷e-۳ ۷/۹۵۰۸۵e-۳ ۱/۴۵۸۳۰e+۰ ۱/۳۷۲۱۱e+۰ ۱/۸۱۱۳۷e-۲ ۲/۴۷۷۱۹e-۲ ۲/۲۹۴۶۵e+۰ ۲/۹۰۹۶۵e+۰										
F2۲۳/۱/۲۶۹۸۱e-۶ ۱/۷۲۵۷۸e-۶ ۲/۴۲۲۸۰e-۷ ۷/۶۳۰۹۵e-۷ ۱/۱۴۵۷۶e-۱ ۱/۸۱۴۵۰e-۱ ۷/۷۶۰۱۲e+۶ ۲/۳۲۴۱۸e+۷ ۵/۴۱۱۳۶e+۰ ۱/۸۳۳۴۱e+۳										
F2۴/۰/۹۸۸۹e+۰ ۲/۱۲۵۸۴e+۰ ۶/۰۵۲۴۸۳e+۰ ۳/۹۰۱۰۵۵e+۰ ۱/۸۰۳۰۹e+۱ ۱/۰۲۴۶۹e+۱ ۱/۱۲۹۲۱e+۱ ۴/۴۴۸۲۵e+۰ ۱/۴۴۵۸۰e+۰ ۷/۴/۳۱۴۱۷e+۰										

جدول ۱۲- نتایج پیاده سازی روی توابع معیار ادغامی در پانزده بعد برای روش پیشنهادی در مقایسه با روش های دیگران

F	VOA		GWO		SSA		WOA		ALO	
	Ave	Std	Ave	Std	Ave	Std	Ave	Std	Ave	Std
F1۹۱/۳۳۵۰۷ e +۳	۱/۲۷۵۵۲ e +۳	۱/۱۸۴۲۷ e +۲	۰/۰۶۸۳ e +۲	۲/۲۶۷۶۸ e +۴	۲/۱۱۲۹۶ e +۴	۱/۶۲۶۴۵ e +۳	۶/۴۷۲۰۴ e +۳	۷/۲۵۳۴۲ e +۴	۵/۹۷۴۳۰ e +۴	
F۲۰۵/۴۲۴۱۲ e -۵	۲/۸۵۲۲۶ e -۵	۱/۱۸۷۴۸ e -۳	۶/۱۸۲۲۰ e -۴	۲/۳۲۴۷۲ e +۰	۱/۱۷۱۵ e +۰	۱/۴۵۹۶۴ e -۵	۱/۶۳۲۹۶ e -۵	۱/۲۴۴۴۵ e +۳	۱/۰۰۶۹۶ e +۳	
F۲۱۳/۰۸۰۹۰ e +۲	۲/۰۷۲۰۶ e +۲	۱/۴۴۴۴۰ e +۱	۵/۴۸۲۵۰ e +۶	۱/۲۶۱۳۳ e +۷	۲/۱۰۰۵۷ e +۲	۴/۲۴۵۷۸ e +۰	۱/۸۱۱۷۴ e +۸	۴/۶۹۲۲۷ e +۸		
F۲۲۳/۰۱۹۶۴ e -۲	۱/۳۹۰۶۷ e -۱	۷/۹۰۰۲۳ e -۳	۱/۳۳۵۹۶ e -۲	۲/۶۵۴۲۲ e +۰	۱/۶۸۴۷۷ e +۰	۸/۳۲۸۷۹ e -۲	۲/۱۰۸۶۴ e -۱	۹/۶۲۰۶۶ e +۰	۷/۸۲۱۴۰ e +۰	
F۲۳۴/۹۳۲۸۶ e -۲	۲/۶۴۵۲۳ e -۲	۱/۷۹۶۱۱ e -۲	۱/۵۸۷۸۴ e -۲	۱/۸۱۰۰۴ e +۱	۲/۸۲۱۵۷ e +۱	۸/۴۶۹۵۵ e +۹	۱/۵۴۳۵۶ e +۱۰	۴/۸۹۲۳۴ e +۵	۱/۱۰۲۹۷ e +۶	
F۲۴۱/۲۲۲۹۰ e +۱	۳/۹۰۱۶۰ e +۰	۱/۰۴۷۴۵ e +۰	۱/۴۰۶۵۵ e +۰	۱/۴۸۴۱۲ e +۱	۳/۱۷۸۹۰ e +۰	۱/۲۲۶۳۶ e +۱	۳/۸۳۰۹۲ e +۰	۲/۹۰۰۲۷ e +۶	۱/۱۵۴۱۴ e +۷	

جدول ۱۳- نتایج مقایسه برای روش پیشنهادی در مقایسه با روش [۴۰]

آزمایش دوم		آزمایش اول		نام تابع
Std	Ave	Std	Ave	
۳/۸۲۱۵۳ e -۱	۸/۶۶۸۳۸ e -۱	۲/۰۸۰۹۲ e -۲	۱/۶۷۴۶۹ e -۲	VS [۴۰]
۳/۷۸۴۵۲ e -۴	۵/۳۶۲۲۰ e -۴	۱/۲۲۲۰۴ e -۳	۸/۱۳۸۴۲ e -۴	VOA

از مسئله، انتخاب الگوریتم بهینه سازی برای مسئله مورد بررسی راحت تر است.

دیگر معیار ارائه شده «میانگین به برآزنده‌گی بهینه»^{۱۲} نام دارد. این معیار با آگاهی از نقطه مینیمم فضای جستجو* F، به میزان بهینگی رویکرد جایه‌جایی ذرات کاندید می‌پردازد. بدین معنی مقدار این معیار در هر تکرار، نرم اختلاف میانگین نقاط در فضای جستجو از نقطه^{*} F است. مقدار این معیار در شرایط مختلف رفتار الگوریتم در کنش با تابع را نشان می‌دهد. با کاهش مقدار می‌توان به مناسب بودن رویکرد جایه‌جایی ذرات در تابع موردنظر پی برد و اگر به مقداری ثابت برسد، به معنی گیر کردن در نقطه محلی است. از آنجایی که معیار ارائه شده نیازمند آگاهی نسبت به نقطه مینیمم فضای جستجو است، تنها زمانی می‌توان از این معیار استفاده کرد که بررسی رفتار ذرات برای کاوش و اکتشاف در صفحه جستجو الزامی باشد. این بررسی می‌تواند روی توابع معیار صورت پذیرد. در شکل‌های (۷)–(۹) حجم ابرمکعب پراکندگی جستجوی الگوریتم و همچنین مقدار معیار میانگین به برآزنده‌گی بهینه، با دیگر الگوریتم‌ها برای هر تکرار مقایسه شده است. این مقایسه‌ها

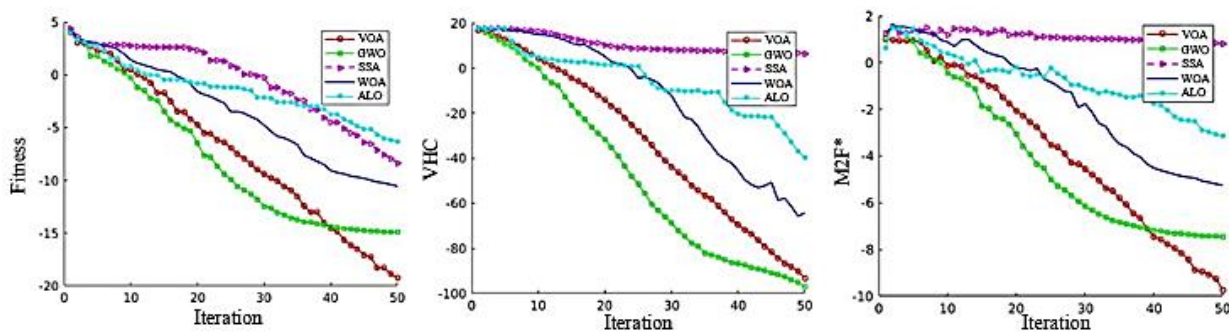
۵- معیارهای ارزیابی پیشنهادی و تحلیل

در این مقاله برای تحلیل همگرایی الگوریتم‌های بهینه سازی در فضای جستجو دو معیار جدید ارائه شده است. اولین معیار در هر تکرار حاکی از حجم پراکندگی ابرمکعبی است که ذرات در آن تکرار می‌توانند در آن ناحیه به جستجو بپردازند. با توجه به پارامترها و کارایی این معیار، نام معیار را «ابرمکعب پراکندگی جستجو»^{۱۱} می‌نامیم. مقدار معیار ابرمکعب پراکندگی جستجو در هر تکرار برابر است با حاصل ضرب واریانس موقعیت تمامی ذرات نسبت به هر بعد که از رابطه (۷) محاسبه می‌شود.

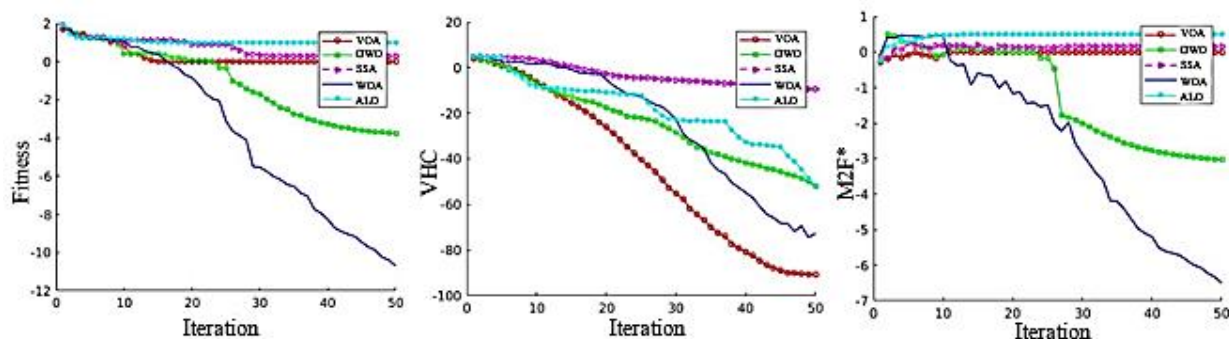
$$VHC = \prod_{D=1}^{\text{dim}} \left(\text{var} \left[\left[P_{1,D}, P_{2,D}, P_{3,D}, \dots, P_{n,D} \right] \right] \right) \quad (7)$$

که در رابطه ارائه شده، مقدار dim تعداد ابعاد تابع ارزیابی مورد بررسی و var نشان‌دهنده مقدار واریانس موقعیت ذرات در بعد مشخص شده، است.

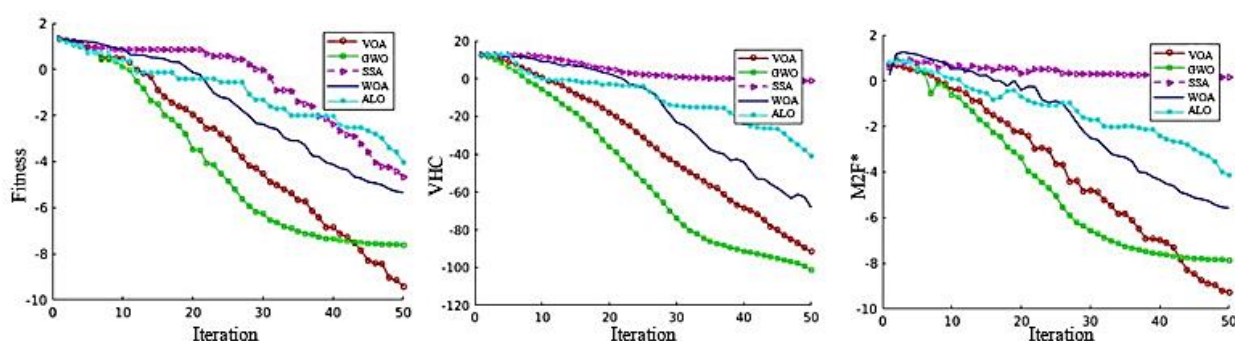
با تحلیل نمودار حاصل از تغییرات حجم ابرمکعب پراکندگی جستجو در توابع مختلف می‌توان رویکرد الگوریتم مورد نظر در همگرایی را مورد کاوش قرار داد. با درنظر گرفتن این معیار در رفتار هر الگوریتم بهینه سازی و دانستن اطلاعاتی



شکل ۷- نتایج سه معیار ارزیابی، مقدار تابع ارزیابی، ابرمکعب پراکندگی جستجو و میانگین به برآزندگی بهینه بر تابع Sphere



شکل ۸- نتایج سه معیار ارزیابی، مقدار تابع ارزیابی، ابرمکعب پراکندگی جستجو و میانگین به برآزندگی بهینه بر تابع Ackley



شکل ۹- نتایج سه معیار ارزیابی، مقدار تابع ارزیابی، ابرمکعب پراکندگی جستجو و میانگین به برآزندگی بهینه بر تابع Rastrigin

ناحیه انتخاب شده برای جستجو و رفتار الگوریتم در کنش با تابع بدرستی برگزیده شده است. کاهش خطی حجم ابرمکعب پراکندگی برای الگوریتم ارائه شده به دلیل تغییر بردار سرعت هر تاوه است که نشان‌دهنده استفاده مناسب از اطلاعات تمامی ذرات، حتی ذرات نویز، به عنوان بهترین ذره جمعی است. این اتفاق از انتخاب تصادفی نمونه‌های هر تاوه برای یافتن

روی سه تابع F_1 ، F_9 ، F_{10} ، به نام‌های Sphere، Ackley، F_1 ، F_9 ، F_{10} به نام‌های Rastrigin در پنج بعد انجام شده است.

همان‌طور که در شکل‌های (۷)-(۹) مشاهده می‌شود، با افزایش تکرار و کوچک‌تر شدن حجم ابرمکعب پراکندگی جستجو، معیار میانگین به برآزندگی بهینه، نیز کاهش می‌یابد و دقیق‌تر جواب منتخب نیز افزایش می‌یابد. این بدین معنی است که

ذرات از نقاط مینیمم محلی دوری جویند. پیشنهادات را می‌توان در غالب‌ها و برای مشکلات مختلف ارائه کرد. با یافتن ارتباط بین پارامتر استفاده شده در مرحله انتخاب بهترین سیال تصادفی، تعداد ابعاد، تعداد تاووهای تعداد عوامل جستجو در فضای و تعداد حداقل تکرار می‌توان رابطه‌هایی برای هر کدام از این پارامترها یافت تا دیگر به صورت آزمون و خطا، آزمایش نشود و فقط با مقداری پیش‌پردازش، کیفیت الگوریتم را افزایش دهیم. همچنین با بررسی چگونگی رفتار تاووهای الگوریتم ارائه شده در فضای جستجو و واکاوی علل انتخاب اشتباہ فضای جستجو در ابعاد بالا، می‌توان مشکل اختلال رفتاری این الگوریتم در ابعاد بالا را رفع کرد. لذا، الگوریتم تاوه می‌تواند در تمامی مسائل پیچیده در ابعاد پایین بسیار خوب عمل کند و در این ابعاد مورد استفاده قرار گیرد ولی در استفاده از مسائل با ابعاد بالا، دقت خوبی را ارائه نمی‌دهد.

۷- سپاسگزاری

این طرح پژوهشی با استفاده از اعتبارات ویژه پژوهشی دانشگاه صنعتی نوشیروانی باطل انجام شده است؛ لذا در کمال احترام از همکاری به عمل آمده دانشگاه نهایت قدردانی و سپاس به عمل می‌آید.

بهترین ذره جمعی نشأت می‌گیرد.

همین طور با بررسی جداول نتایج در می‌یابیم که این الگوریتم در هر سه دسته از توابع، رفتار بهتری در ابعاد پایین دارد. اما در همین توابع با ابعاد بالا، ناحیه انتخاب شده به درستی برگزیده نمی‌شود. در نتیجه رفتار الگوریتم دچار نوسانات بسیار می‌شود و ذرات در بهینه‌های محلی به راحتی گیر می‌کنند. با این حال، اگر دامنه مسئله مورد بهینه‌سازی ما کوچک باشد، با توجه به مقایسات انجام شده، استفاده از الگوریتم تاوه بسیار معقول‌تر است.

۶- نتیجه‌گیری

از بیست و چهار تابع معیار در ابعاد مختلف برای ارزیابی استفاده شده است. این توابع شامل توابع استاندارد، توابع ترکیبی و همچنین توابع ادغامی پیشنهادی است. ایده توابع ادغامی پیشنهادی می‌تواند به عنوان استانداردی برای ارزیابی سایر روش‌های آینده بهینه‌سازی استفاده شود. از جمله مزیت‌های الگوریتم ارائه شده که می‌شود به آن اشاره کرد، دقت بالا در توابع و سرعت مناسب محاسبات در توابع مورد بررسی است. همچنین می‌توان به روند کاهش حجم ناحیه جستجو اشاره کرد که به درستی برگزیده می‌شود و به راحتی می‌تواند نواحی که دارای مقدار ارزیابی بیشتری است را تشخیص دهد و از آن نواحی دوری کند. این کار احتمالاً سبب می‌شود که از

واژه‌نامه

- | | | |
|--------------------------------------|--------------------------------|--------------------------------|
| 1. genetic algorithm (GA) | 6. meta-heuristic algorithms | 11. volume of hyper cube (VHC) |
| 2. particle swarm optimization (PSO) | 7. no-free-lunch theorem (NFL) | 12. mean to F* (M2F*) |
| 3. swarm intelligence (SI) | 8. black box | |
| 4. Tabu search | 9. vortex | |
| 5. simulated annealing | 10. fluid physics | |

مراجع

- Mirjalili, S., Song Dong, J., Sadiq, A. S., and Faris, H., “Genetic Algorithm: Theory, Literature Review, and Application in Image Reconstruction”, *Studies in Computational Intelligence*, Vol. 811, pp. 69–85, 2020.
- Whitley, D., “A Genetic Algorithm Tutorial”, *Statistics and Computing*, Vol. 4, No. 2, pp. 65-85. 1994.
- Kennedy J., and Eberhart, R., “Particle Swarm Optimization”, *Proceedings of ICNN'95 - International Conference on Neural Networks*, Vol. 4, pp. 1942–1948, 2002.
- Chan, C. L. and Chen, C. L., “A Cautious PSO with

- Conditional Random” *Expert Systems with Applications*, Vol. 42, No. 8, pp. 4120–4125, 2015.
5. Pham D. T. and Karaboga, D., “Genetic Algorithms, Tabu Search, Simulated Annealing, Neural Networks” *Intelligent Optimisation Techniques*, Vol. 1, pp. 51–240, 2000.
 6. Mirjalili, S., “SCA: A Sine Cosine Algorithm for Solving Optimization Problems”, *Knowledge-Based Systems.*, Vol. 96, pp. 120–133, 2016.
 7. Yang, X.-S., Deb, S., Fong, S., He, X., and Zhao, Y.-X., “From Swarm Intelligence to Metaheuristics: Nature-Inspired Optimization Algorithms”, *Computer*, Vol. 49, No. 9, pp. 52–59, 2016.
 8. Wolpert, D. H. and Macready, W. G., “No Free Lunch Theorems for Optimization,” *IEEE Transactions on Evolutionary Computation*, Vol. 1, No. 1, pp. 67–82, 1997.
 9. Dasgupta, D., and Michalewicz, Z., Eds., *Evolutionary Algorithms in Engineering Applications*, Berlin, Heidelberg: Springer Berlin Heidelberg, 1997,
 10. Yang X.-S., *Optimization Techniques and Applications with Examples*. Hoboken, New Jersey, John Wiley & Sons, 2018
 11. Holland, J. H., “Genetic Algorithms,” *Scientific American.*, Vol. 267, No. 1, pp. 66–73, 1992.
 12. Beyer, H.-G. and Schwefel, H.-P., “Evolution strategies – A comprehensive introduction”, *Natural Computing*, Vol. 1, No. 1, pp. 3–52, 2002.
 13. Koza, J.-R., *Genetic Programming: on the Programming of Computers by Means of Natural Selection*, Cambridge, Massachusetts. The MIT Press, 1998.
 14. Dorigo, M. and Stützle, T., “Ant Colony Optimization: Overview and Recent Advances”, *Handbook of Metaheuristics*, Vol. 146, pp. 227–263, 2010.
 15. Lu, X. and Zhou, Y., “A Novel Global Convergence Algorithm: Bee Collecting Pollen Algorithm”, *Lecture Notes in Computer Science (including subseries Lecture Notes in Artificial Intelligence and Lecture Notes in Bioinformatics)*, Vol. 5227 LNAI, pp. 518–525, 2008.
 16. Pinto, P. C., Runkler, T. A., and Sousa, J. M. C., “Wasp Swarm Algorithm for Dynamic MAX-SAT Problems”, *Lecture Notes in Computer Science (including subseries Lecture Notes in Artificial Intelligence and Lecture Notes in Bioinformatics)*, Vol. 4431 LNCS, No. PART 1, pp. 350–357, 2007.
 17. Karaboga, D., and Basturk, B., “Artificial Bee Colony (ABC) Optimization Algorithm for Solving Constrained Optimization Problems”, *Lecture Notes in Computer Science (including subseries Lecture Notes in Artificial Intelligence and Lecture Notes in Bioinformatics)*, Vol. 4529 LNAI, pp. 789–798, 2007.
 18. Yang X. S., and Deb, S., “Cuckoo Search via Levy Flights”, 2009 *World Congress on Nature and Biologically Inspired Computing, NABIC 2009 - Proceedings*, pp. 210–214, 2010.
 19. Yang, S., Jiang, J., and Yan, G., “A Dolphin Partner Optimization”, *Proceedings of the 2009 WRI Global Congress on Intelligent Systems, GCIS 2009*, Vol. 1, pp. 124–128, 2009.
 20. Kaveh, A. and Farhoudi, N., “A New Optimization Method: Dolphin Echolocation”, *Advances in Engineering Software*, Vol. 59, pp. 53–70, 2013.
 21. Yang, X.-S. S., “A New Metaheuristic Bat-Inspired Algorithm BT - Nature Inspired Cooperative Strategies for Optimization (NICSO 2010)”, *Studies in Computational Intelligence*, Vol. 284, pp. 65–74, 2010.
 22. Yang, X. S., “Firefly Algorithm, Stochastic Test Functions and Design Optimisation”, *International Journal of Bio-Inspired Computation*, Vol. 2, No. 2, pp. 78–84, 2010.
 23. Oftadeh, R., Mahjoob, M. J., and Shariatpanahi, M., “A Novel Meta-Heuristic Optimization Algorithm Inspired by Group Hunting of Animals: Hunting Search”, *Computers & Mathematics with Applications*, Vol. 60, No. 7, pp. 2087–2098, 2010.
 24. Askarzadeh, A., and Rezazadeh, A., “A New Heuristic Optimization Algorithm for Modeling of Proton Exchange Membrane Fuel Cell: Bird Mating Optimizer”, *International Journal of Energy Research*, Vol. 37, No. 10, pp. 1196–1204, 2013.
 25. Gandomi, A. H., and Alavi, A. H., “Krill Herd: A New Bio-Inspired Optimization Algorithm”, *Communications in Nonlinear Science and Numerical Simulation*, Vol. 17, No. 12, pp. 4831–4845, 2012.
 26. Pan, W. T., “A New Fruit Fly Optimization Algorithm: Taking the Financial Distress Model as an Example”, *Knowledge-Based Systems*, Vol. 26, pp. 69–74, 2012.
 27. Mucherino, A., Seref, O., Seref, O., Kundakcioglu, O. E., and Pardalos, P., “Monkey Search: a Novel Metaheuristic Search for Global Optimization”, *AIP Conference Proceedings*, Vol. 953, No. 1, pp. 162–173, 2007.
 28. Roth, M., and Wicker, S., “Termite: A Swarm Intelligent Routing Algorithm for Mobilewireless Ad-Hoc Networks”, *Studies in Computational Intelligence*, Vol. 31, pp. 155–184, 2006.
 29. Mirjalili, S., Mirjalili, S. M., and Lewis, A., “Grey Wolf Optimizer”, *Advances in Engineering Software*, Vol. 69, pp. 46–61, 2014.
 30. Abualigah, L., Shehab, M., Alshinwan, M., and Alabool, H., “Salp Swarm Algorithm: a Comprehensive Survey”, *Neural Computing and Applications 2019 32:15*, Vol. 32, No. 15, pp. 11195–11215, 2019.
 31. Mirjalili S., and Lewis, A., “The Whale Optimization Algorithm”, *Advances in Engineering Software*, Vol.

- 95, pp. 51–67, 2016.
32. Heidari, A. A., Faris, H., Mirjalili, S., Aljarah, I., and Mafarja, M., “Ant Lion Optimizer: Theory, Literature Review, and Application in Multi-layer Perceptron Neural Networks”, *Studies in Computational Intelligence*, Vol. 811, pp. 23–46, 2020.
33. Erol O. K., and Eksin, I., “A New Optimization Method: Big Bang–Big Crunch”, *Advances in Engineering Software*, Vol. 37, No. 2, pp. 106–111, 2006.
34. Du, H., Wu, X., and Zhuang, J., “Small-World Optimization Algorithm for Function Optimization”, *Lecture Notes in Computer Science (including subseries Lecture Notes in Artificial Intelligence and Lecture Notes in Bioinformatics)*, Vol. 4222 LNCS-II, pp. 264–273, 2006.
35. Hatamlou, A., “Black Hole: A New Heuristic Optimization Approach for Data Clustering”, *Information Sciences*, Vol. 222, pp. 175–184, 2013.
36. Mirjalili, S., Mirjalili, S. M., and Hatamlou, A., “Multi-Verse Optimizer: a Nature-Inspired Algorithm for Global Optimization”, *Neural Computing and Applications 2015* 27:2, Vol. 27, No. 2, pp. 495–513, 2015.
37. Kaveh A., and Khayatazad, M., “A New Meta-Heuristic Method: Ray Optimization”, *Computers & Structures*, Vol. 112–113, pp. 283–294, 2012.
38. Atashpaz-Gargari, E., and Lucas, C., “Imperialist Competitive Algorithm: An Algorithm for Optimization Inspired by Imperialistic Competition”, *2007 IEEE Congress on Evolutionary Computation, CEC 2007*, pp. 4661–4667, 2007.
39. Ray, T., and Liew, K. M., “Society and Civilization: An Optimization Algorithm Based on the Simulation of Social Behavior”, *IEEE Transactions on Evolutionary Computation*, Vol. 7, No. 4, pp. 386–396, 2003.
40. Dođan, B., and Ölmez, T., “A New Metaheuristic for Numerical Function Optimization: Vortex Search Algorithm”, *Information Sciences*, Vol. 293, pp. 125–145, 2015.
41. Ting, L., and Klein, R., *Viscous Vortical Flows*, Vol. 374. Berlin, Heidelberg: Springer Berlin Heidelberg, 1991.
42. Saffman, P. G., *Vortex Dynamics*. Cambridge: Cambridge University Press, 1993.
43. Tayyab, M., Cheema, T. A., Malik, M. S., Muzaffar, A., Sajid, M. B., and Park, C. W., “Investigation of Thermal Energy Exchange Potential of a Gravitational Water Vortex”, *Renewable Energy*, Vol. 162, pp. 1380–1398, 2020.
44. Sugimoto, N., “Nonlinear Interaction Between Vortex and Wave in Rotating Shallow Water”, *Vortex Structures in Fluid Dynamic Problems*, Vol. 1, pp. 33-52, 2017.